

Program EVALPLOT
(Version 2021-1)

by

Dermott E. Cullen
(Present Contact Information)

Dermott E. Cullen
1466 Hudson Way
Livermore, CA 94550
U.S.A.

Tele: 925-443-1911

E.Mail:redcullen1@comcast.net

Web:redcullen1.net/HOMEPAGE.NEW

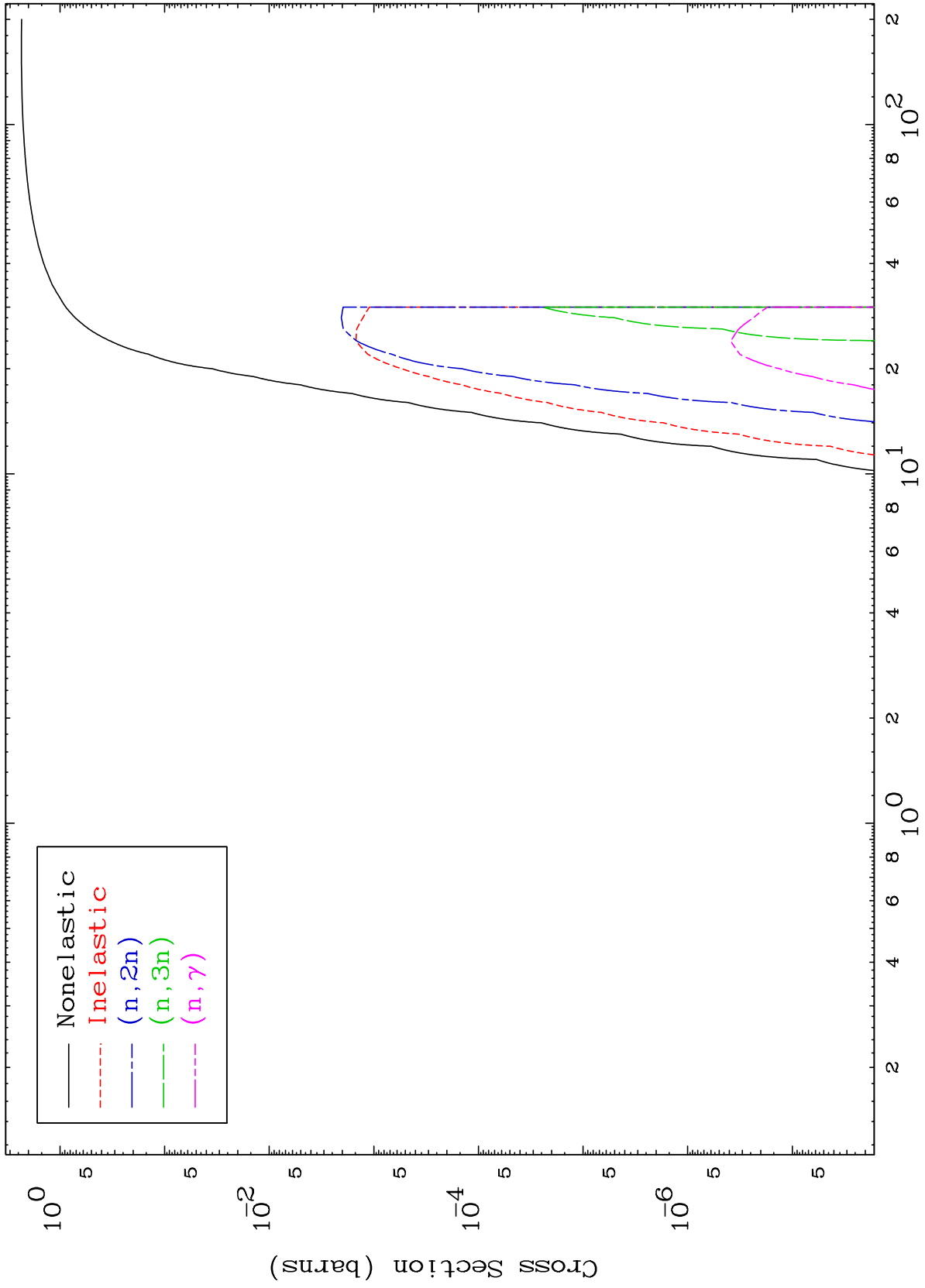
Press Mouse Button to Start

MAT 8086

He-3 Major

81-T1-190

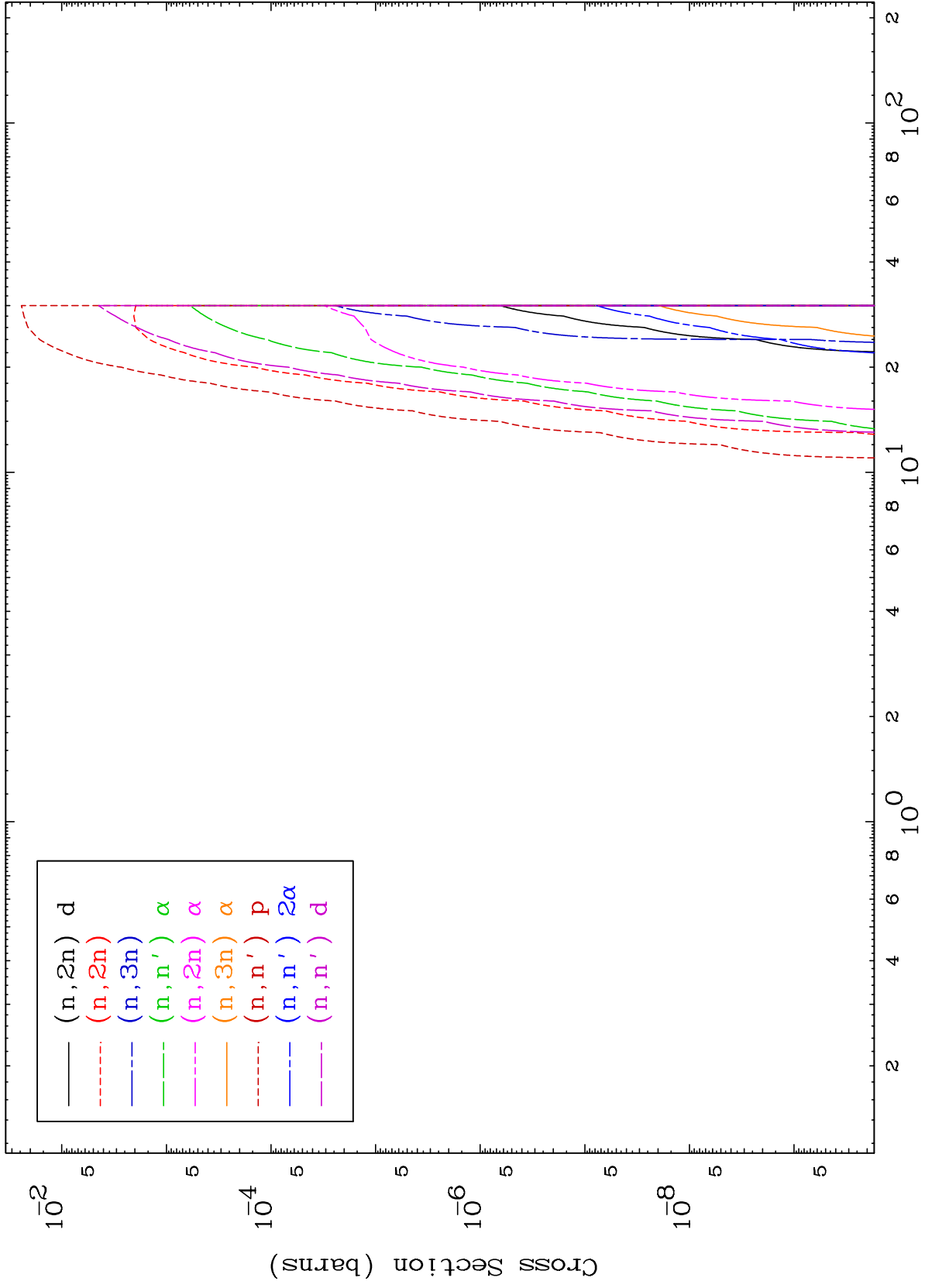
0 Kelvin Cross Sections

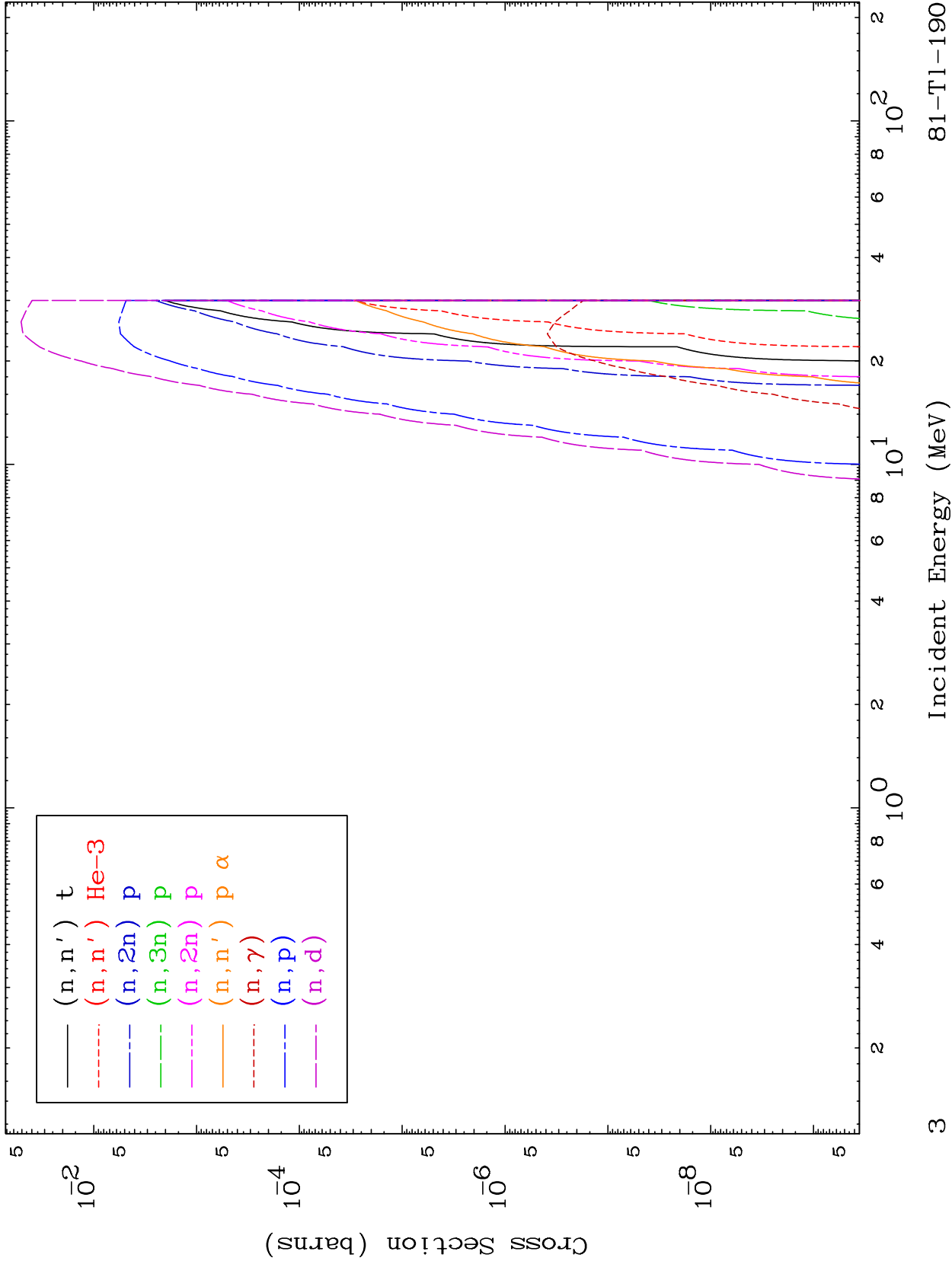


MAT 8086

He-3 Neutron Absorption
0 Kelvin Cross Sections

81-Tl-190

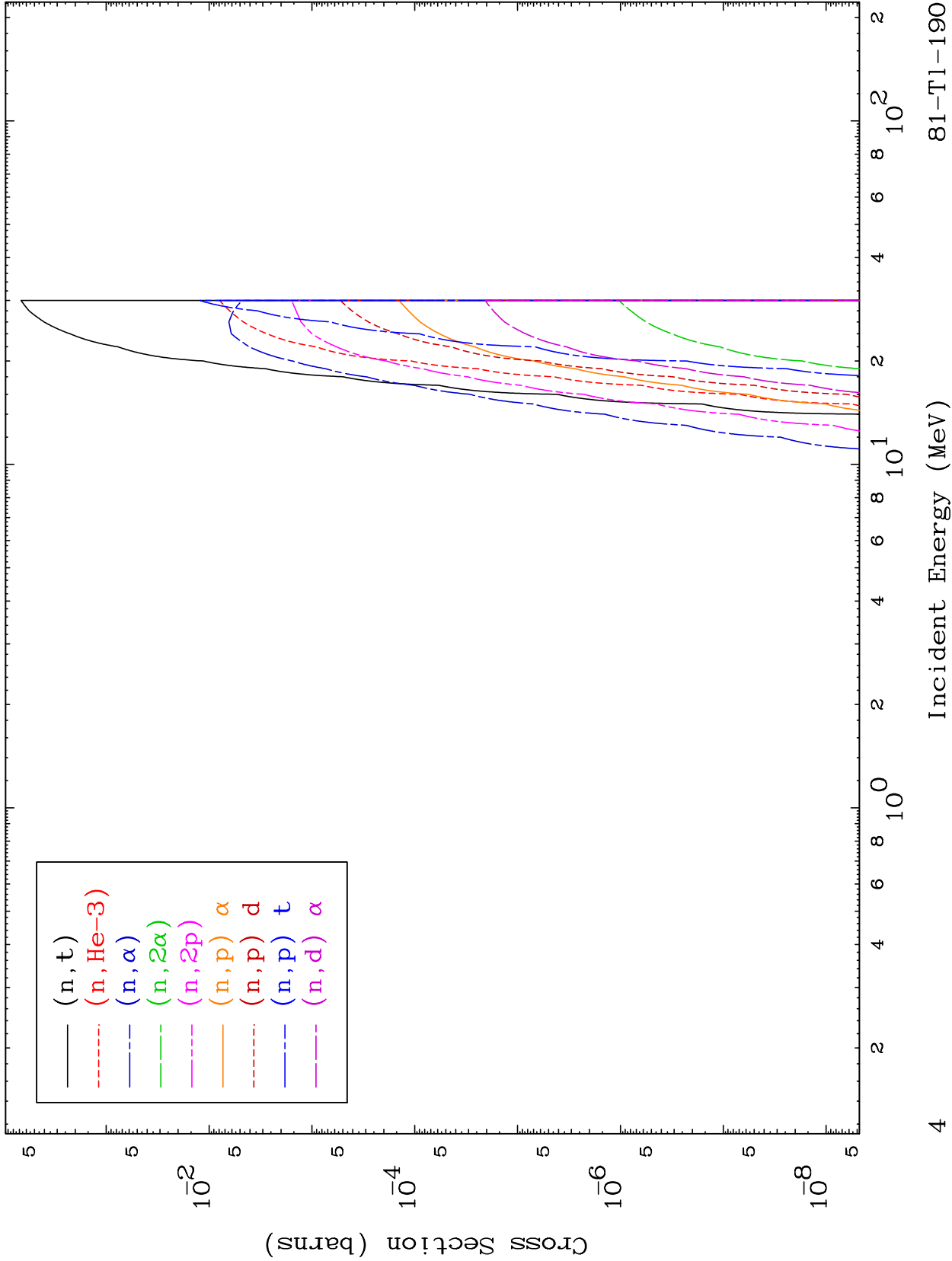




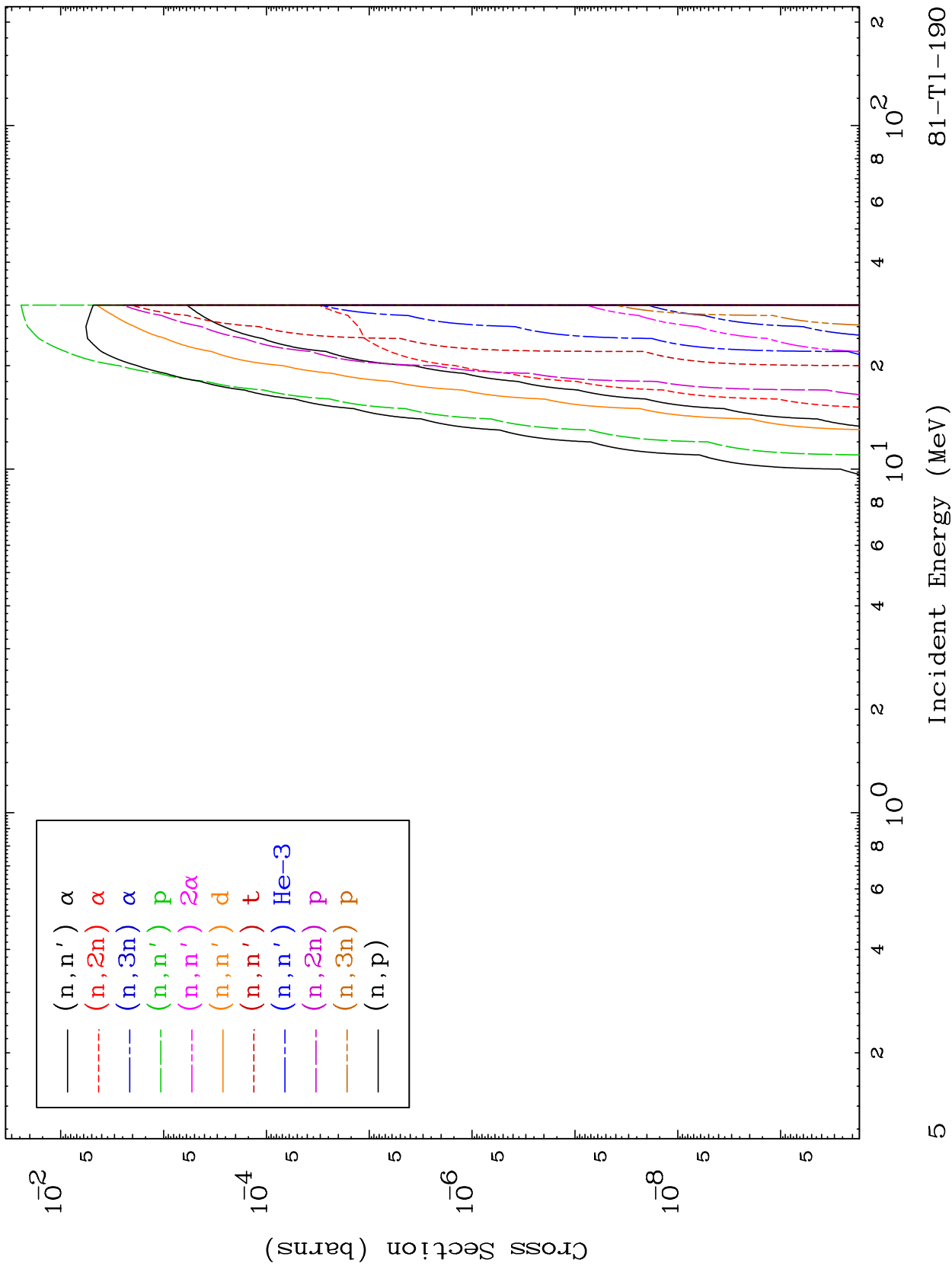
MAT 8086

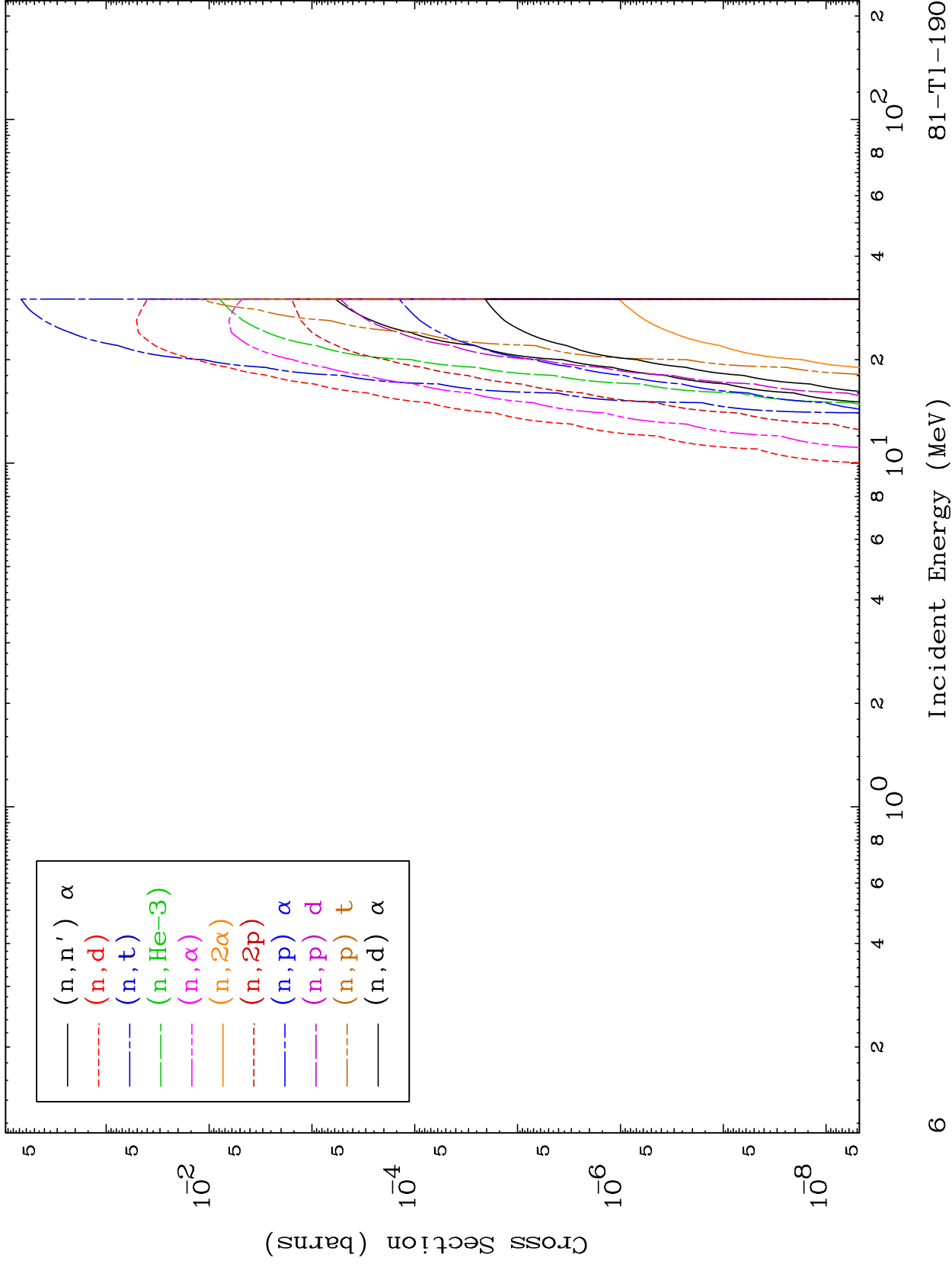
He-3 Neutron Absorption
0 Kelvin Cross Sections

81-Tl-190



81-Tl-190



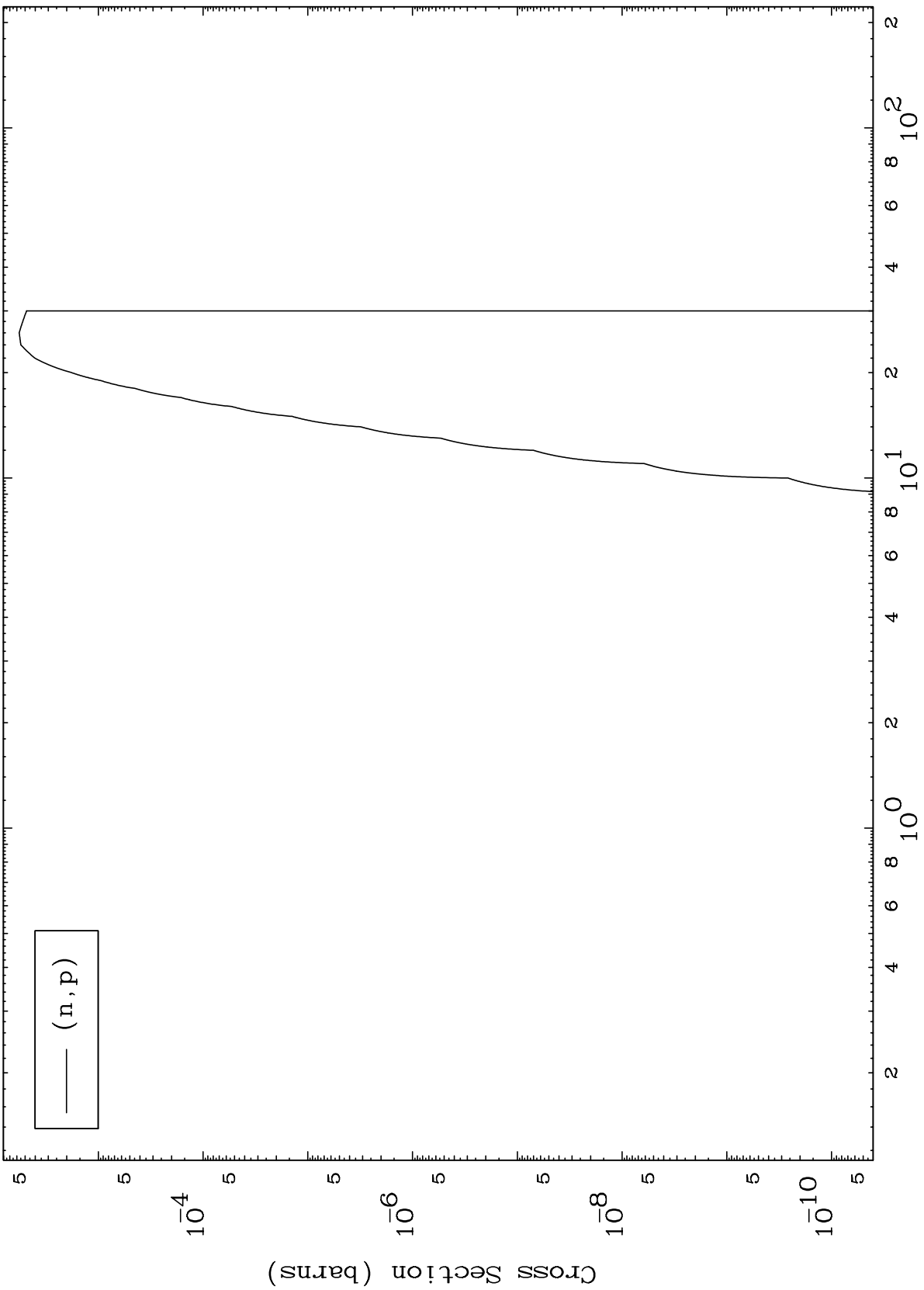


MAT 8086

(He-3,p) Levels

81-T1-190

0 Kelvin Cross Sections

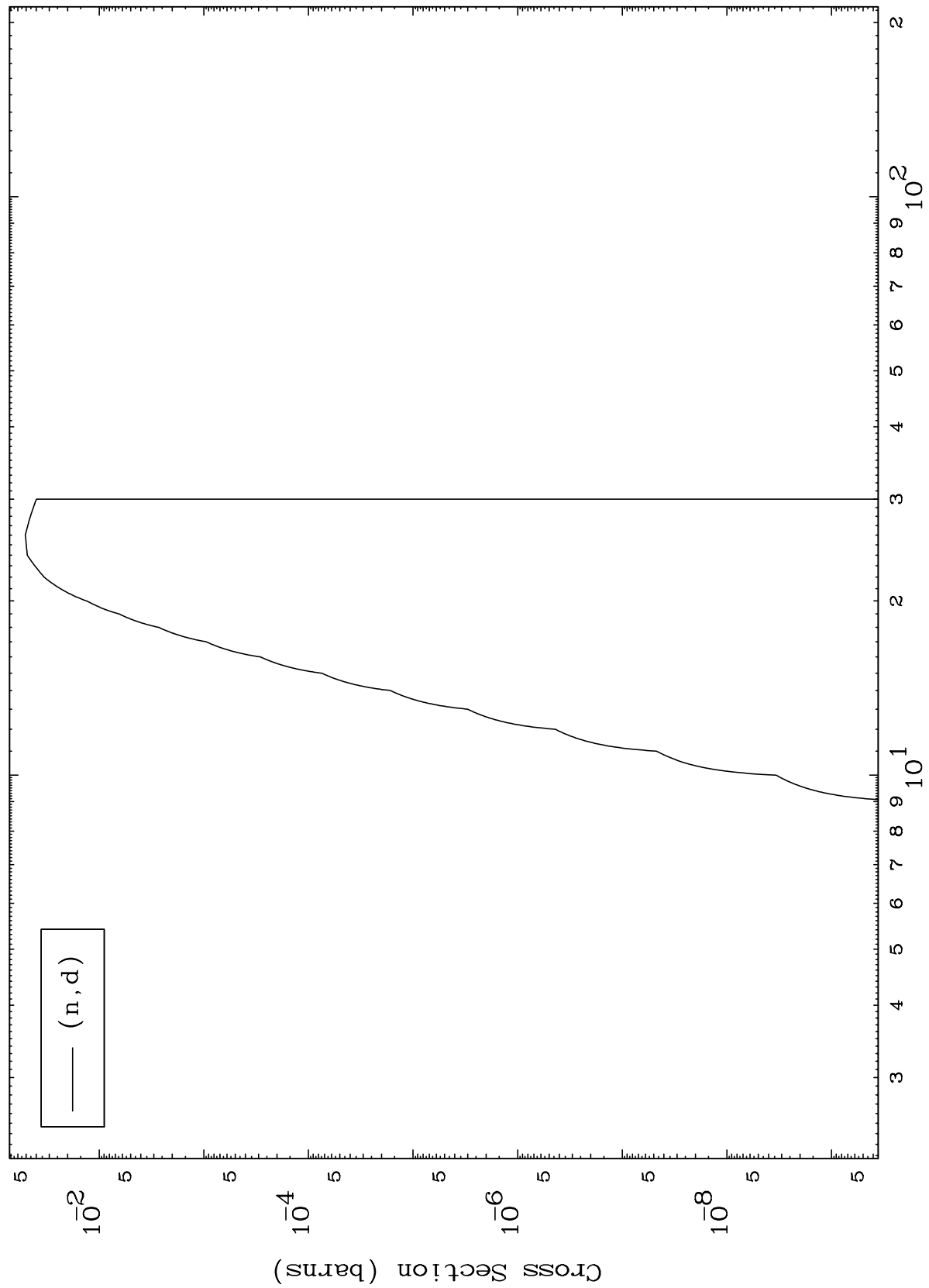


MAT 8086

(He-3,d) Levels

81-T1-190

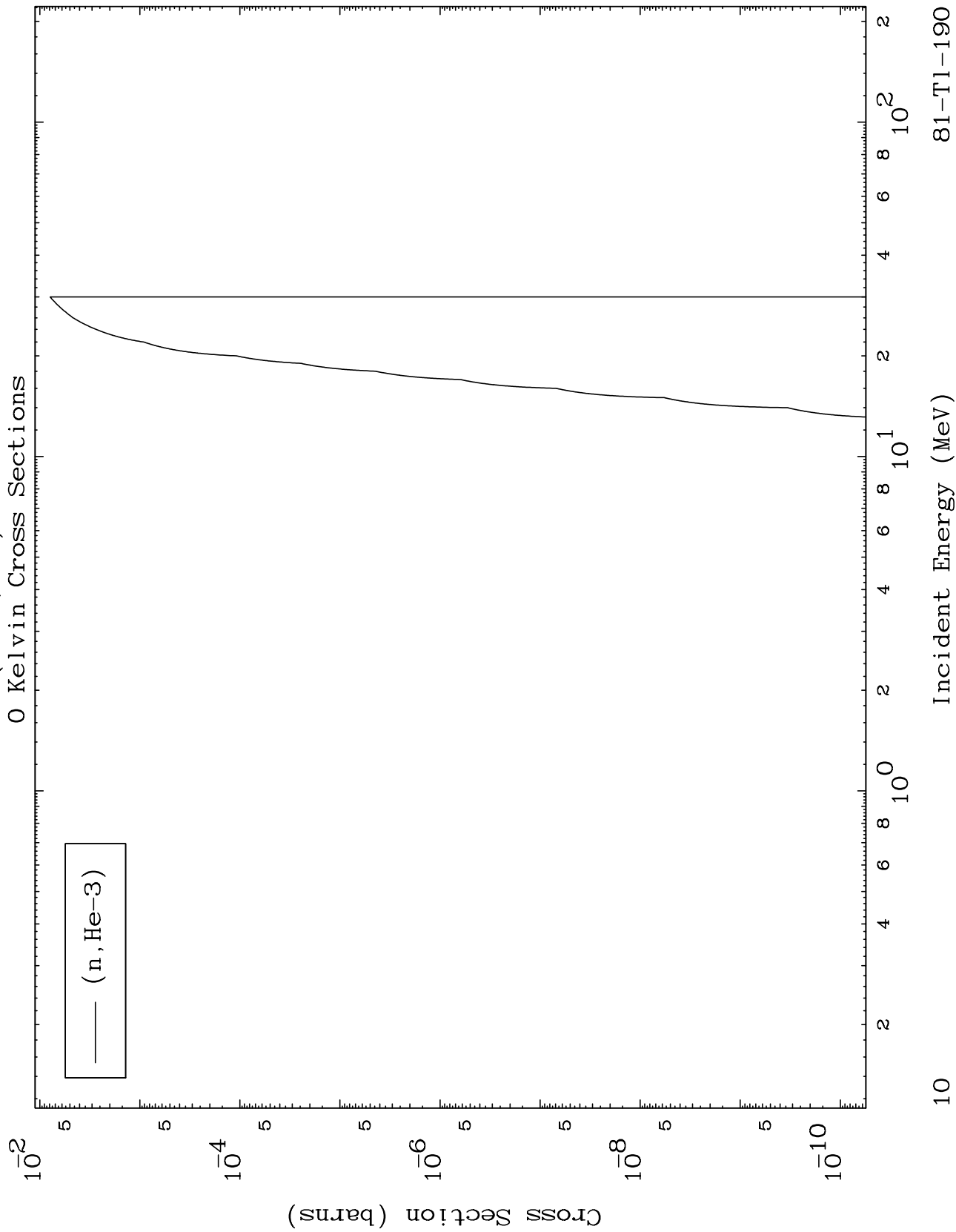
0 Kelvin Cross Sections



MAT 8086

(He-3, He3) Levels

81-T1-190

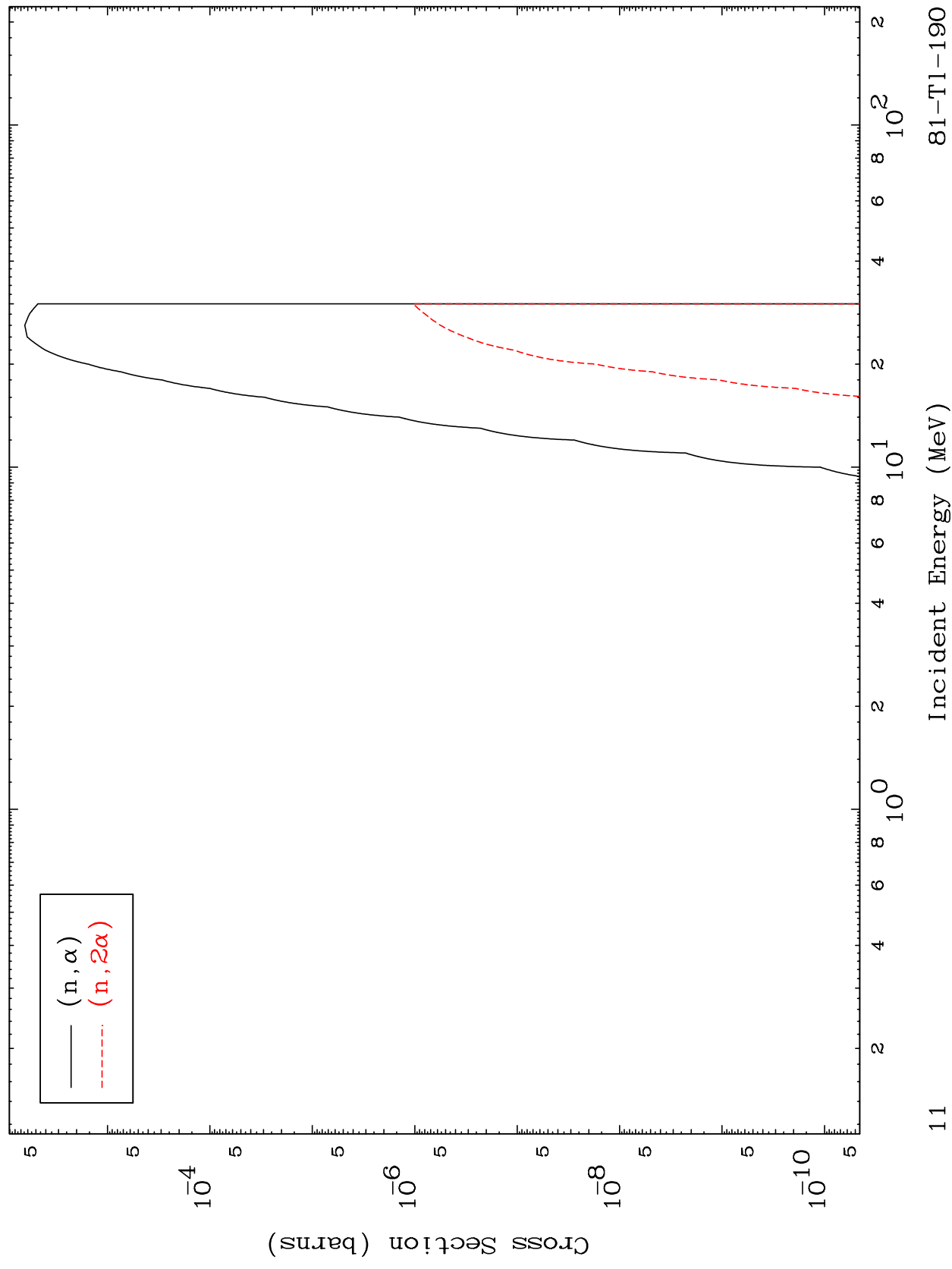


MAT 8086

(He-3, α) Levels

81-T1-190

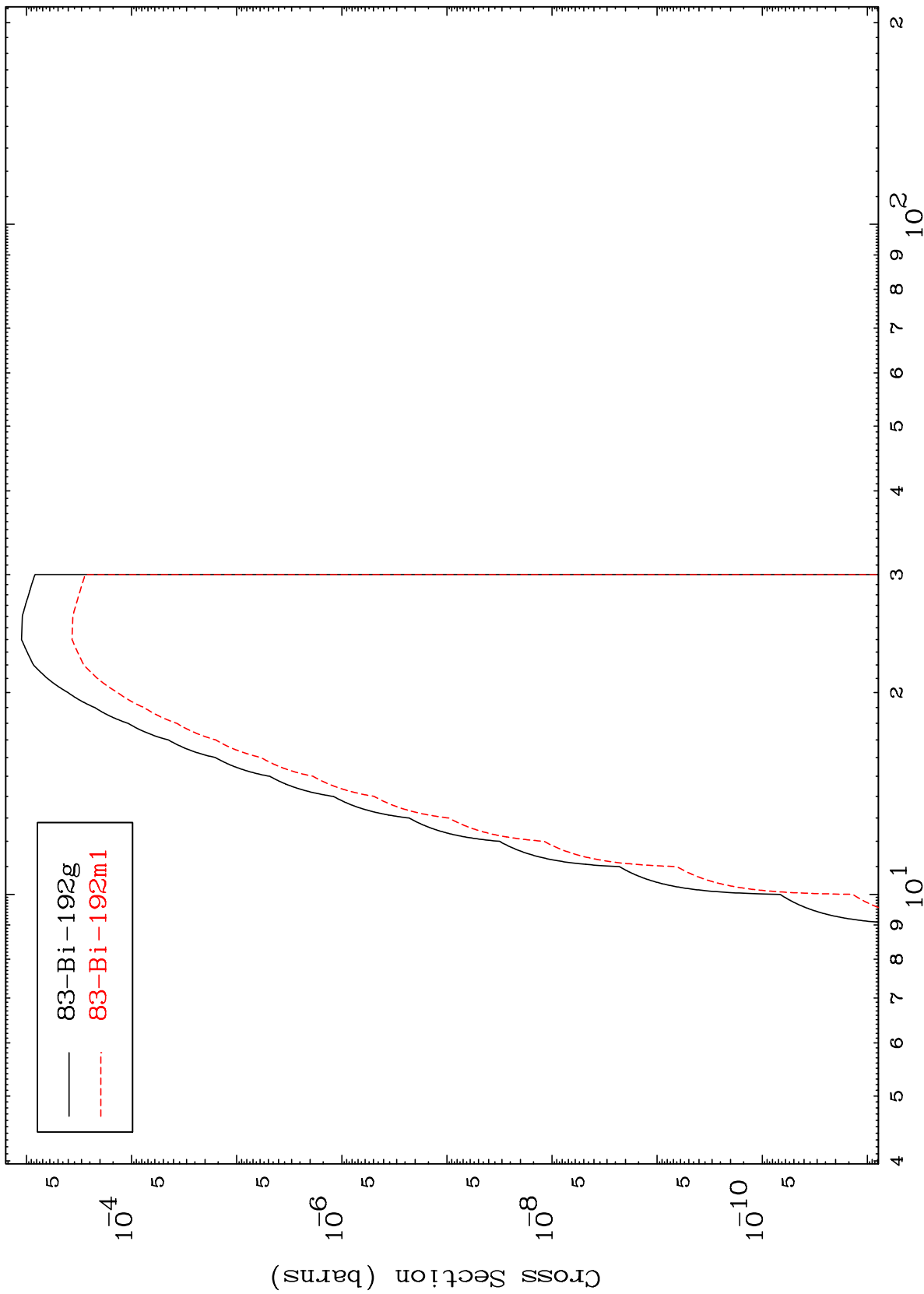
0 Kelvin Cross Sections



MAT 8086

81-Tl-190

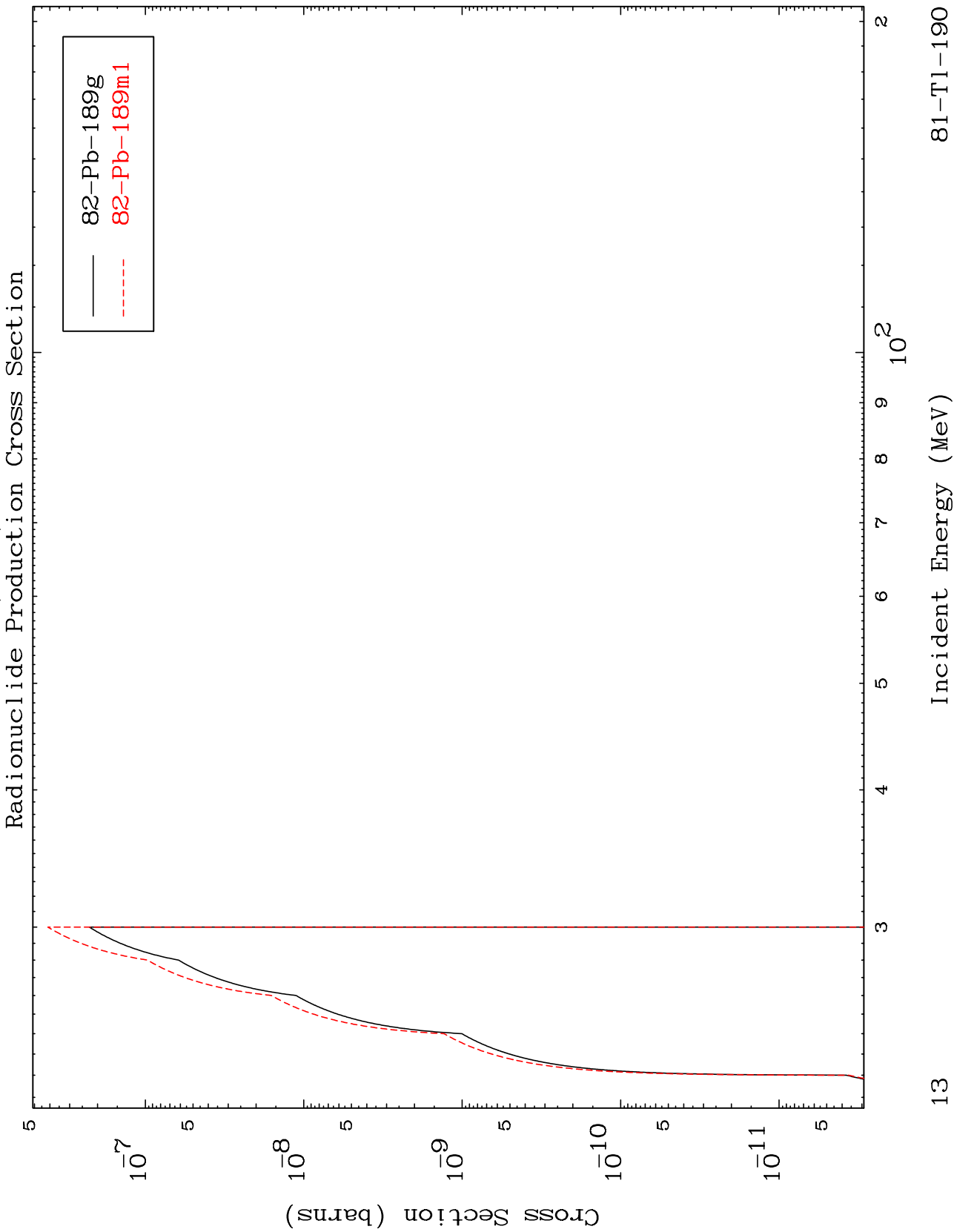
Inelastic
Radionuclide Production Cross Section



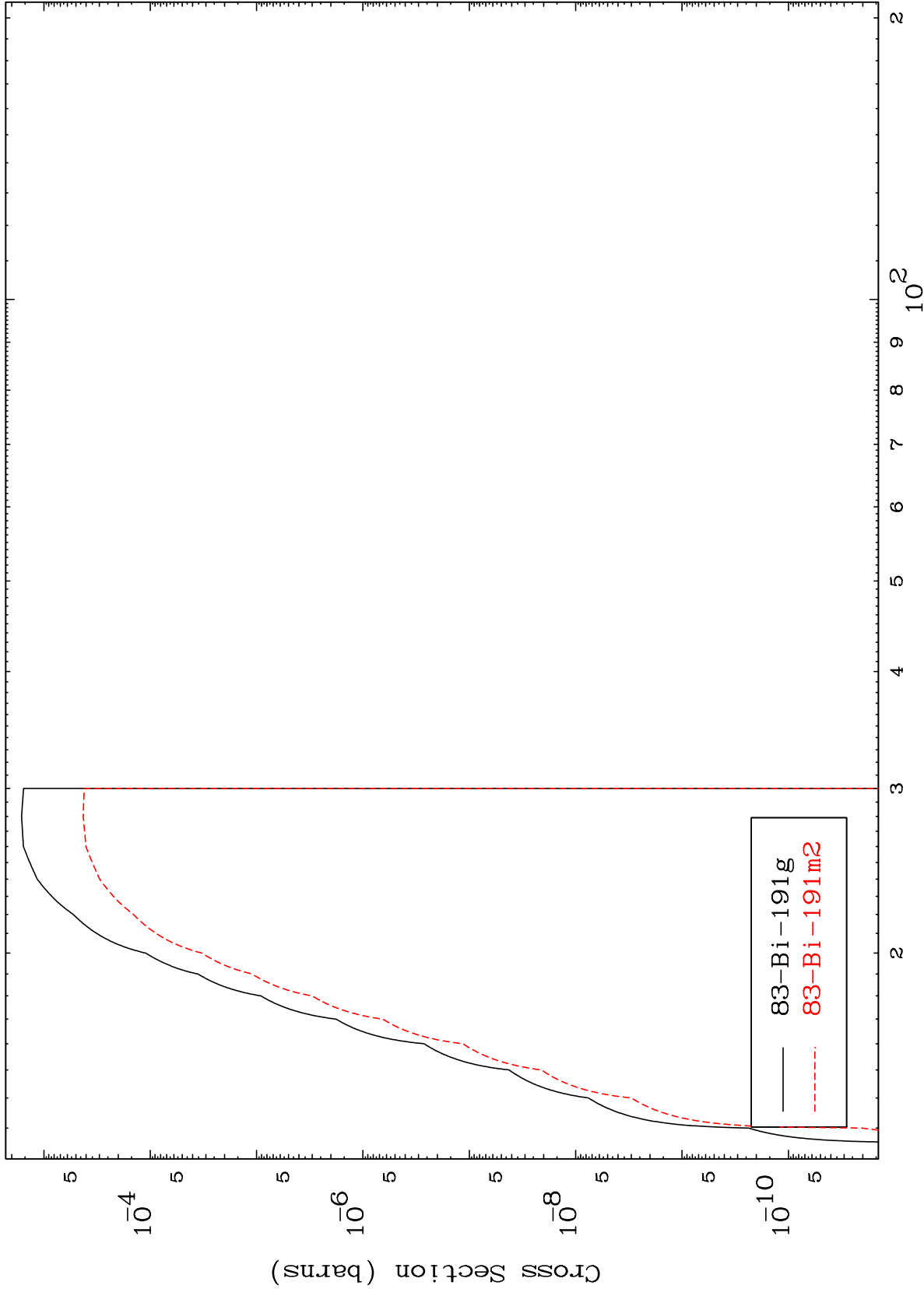
12

Incident Energy (MeV)

81-Tl-190



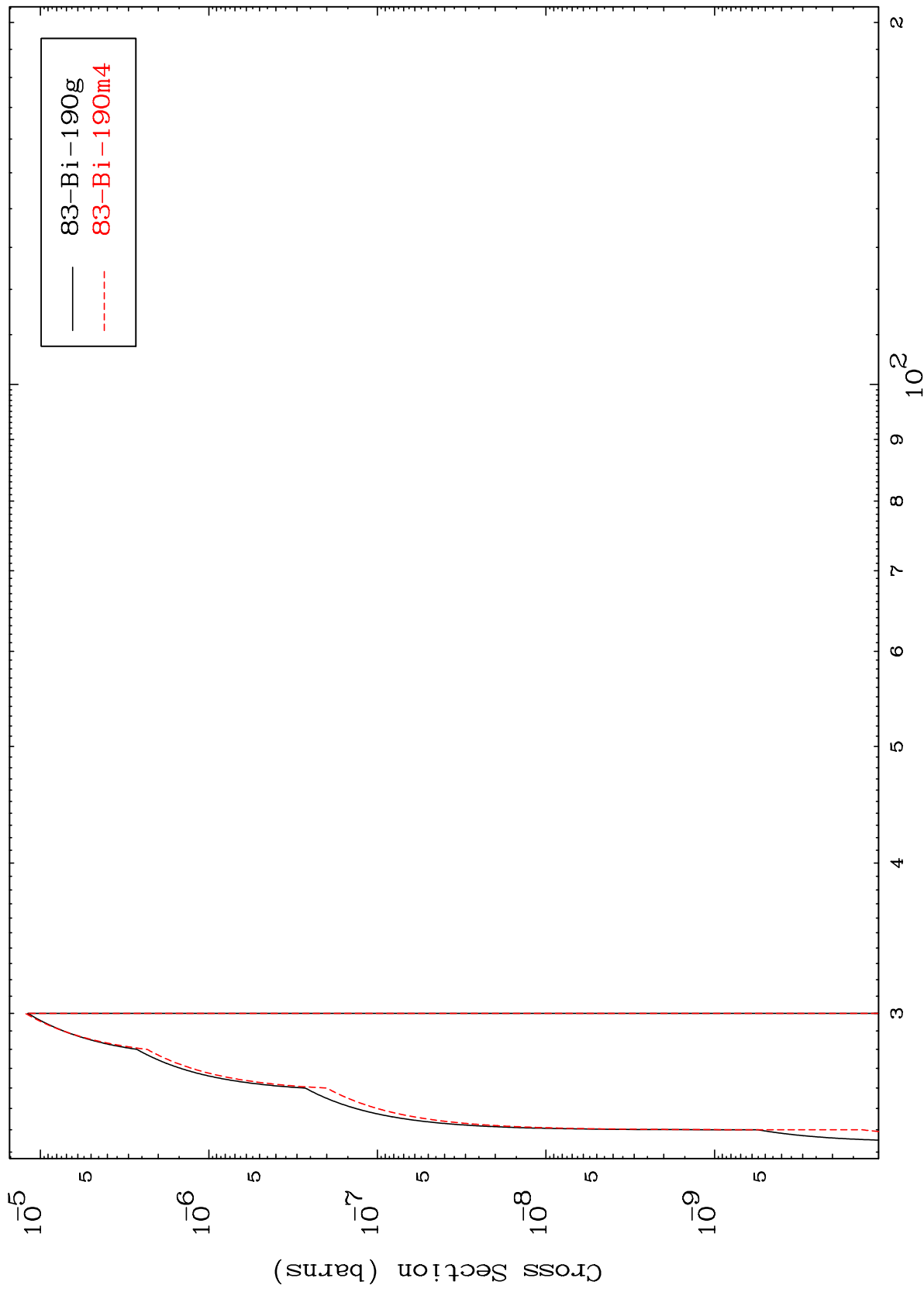
Radionuclide Production Cross Section (n,2n)



MAT 8086

81-Tl-190

(n,3n)
Radionuclide Production Cross Section



15

Incident Energy (MeV)

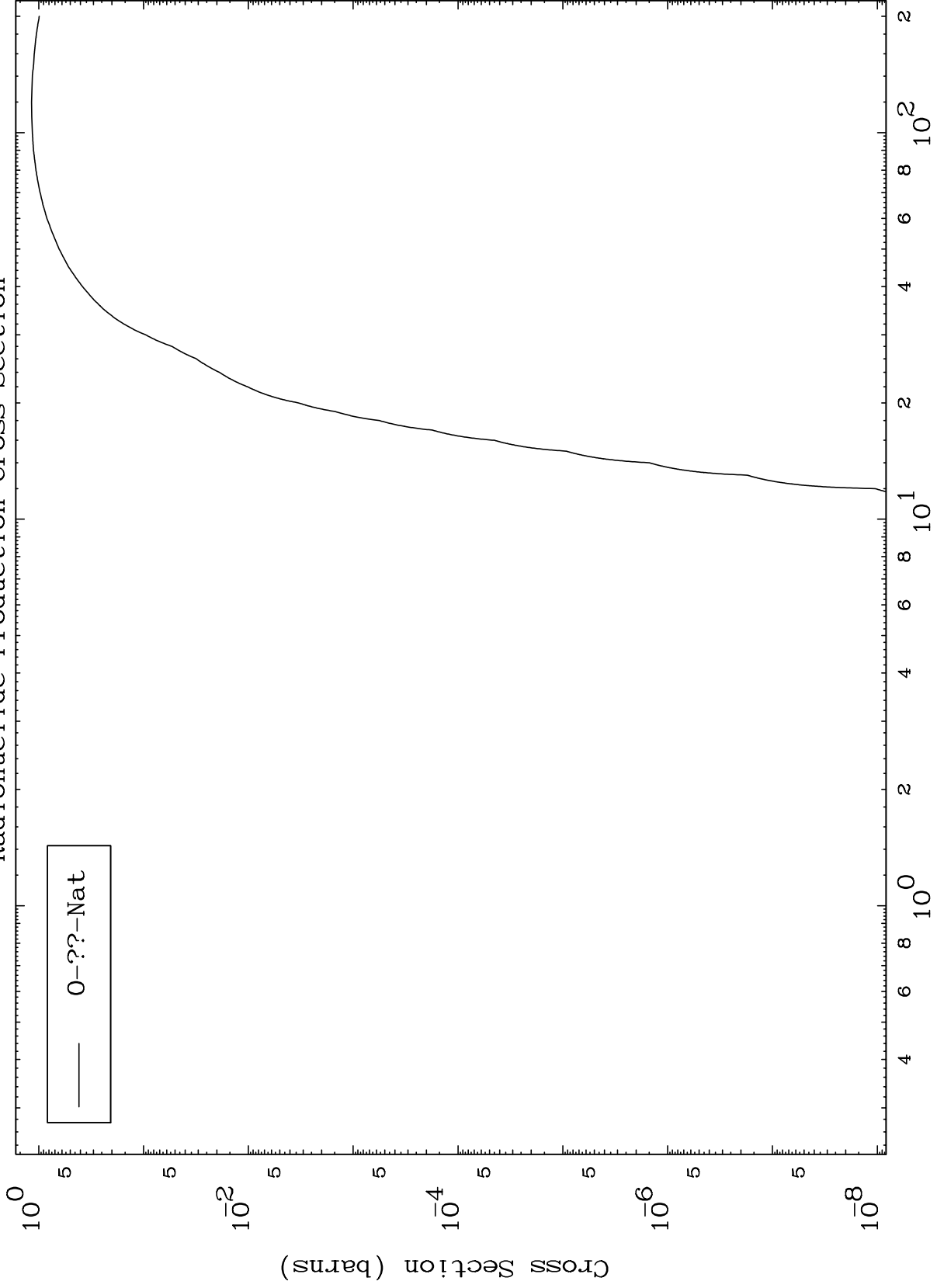
81-Tl-190

MAT 8086

Fission

81-Tl-190

Radionuclide Production Cross Section



16

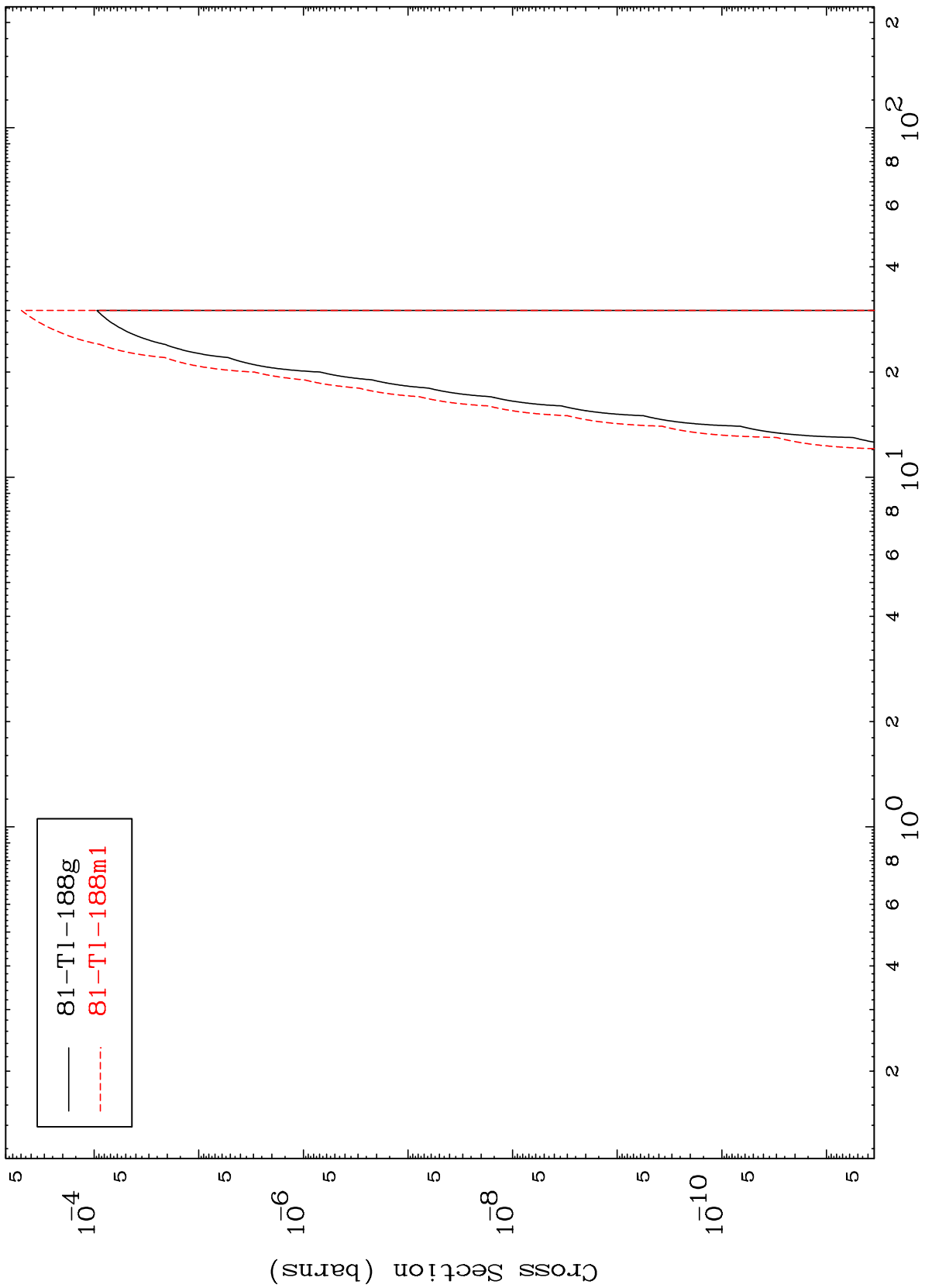
81-Tl-190

MAT 8086

$(n, n') \alpha$

81-Tl-190

Radionuclide Production Cross Section



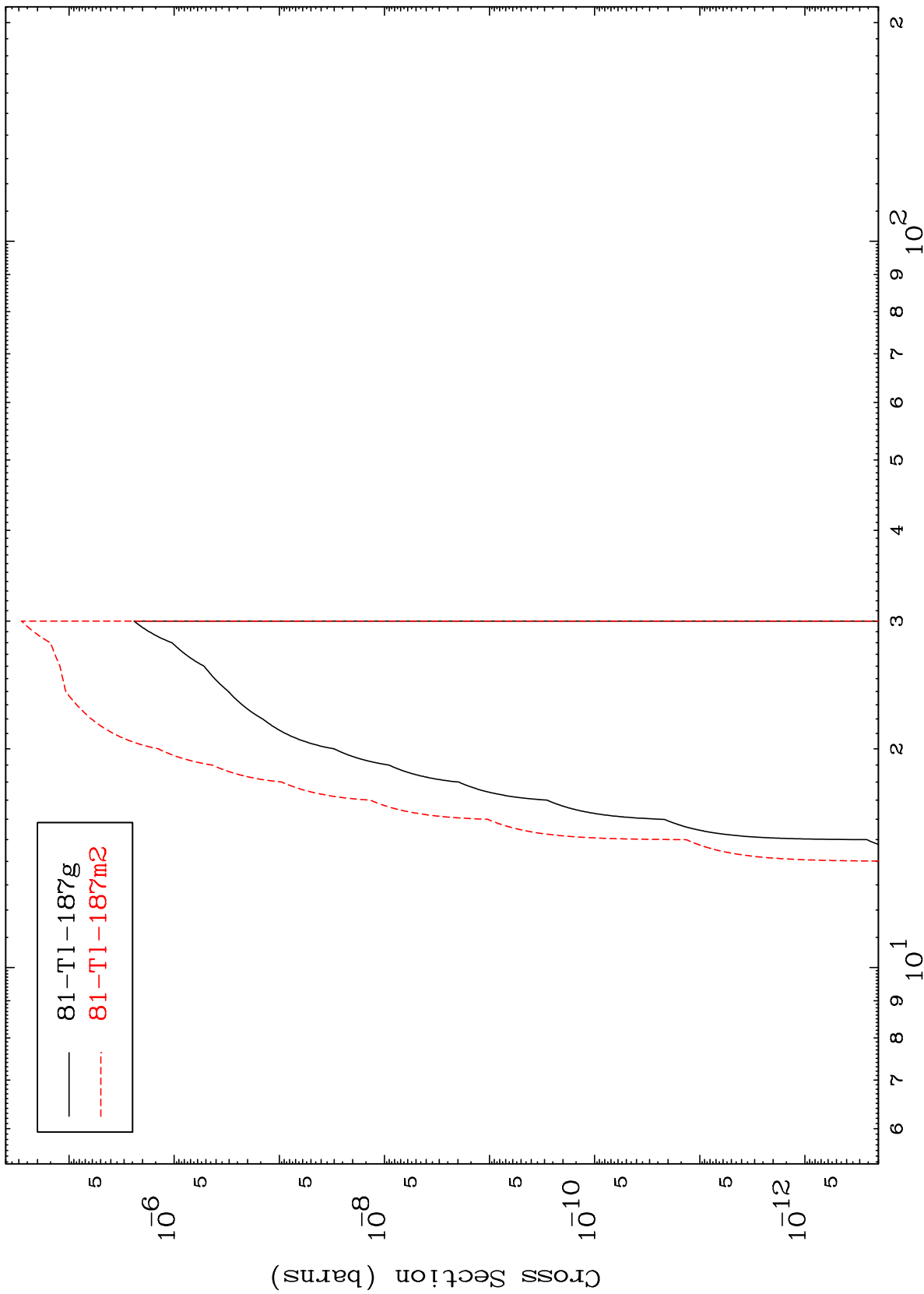
81-Tl-188g
81-Tl-188m1

MAT 8086

(n,2n) α

81-Tl-190

Radionuclide Production Cross Section



18

Incident Energy (MeV)

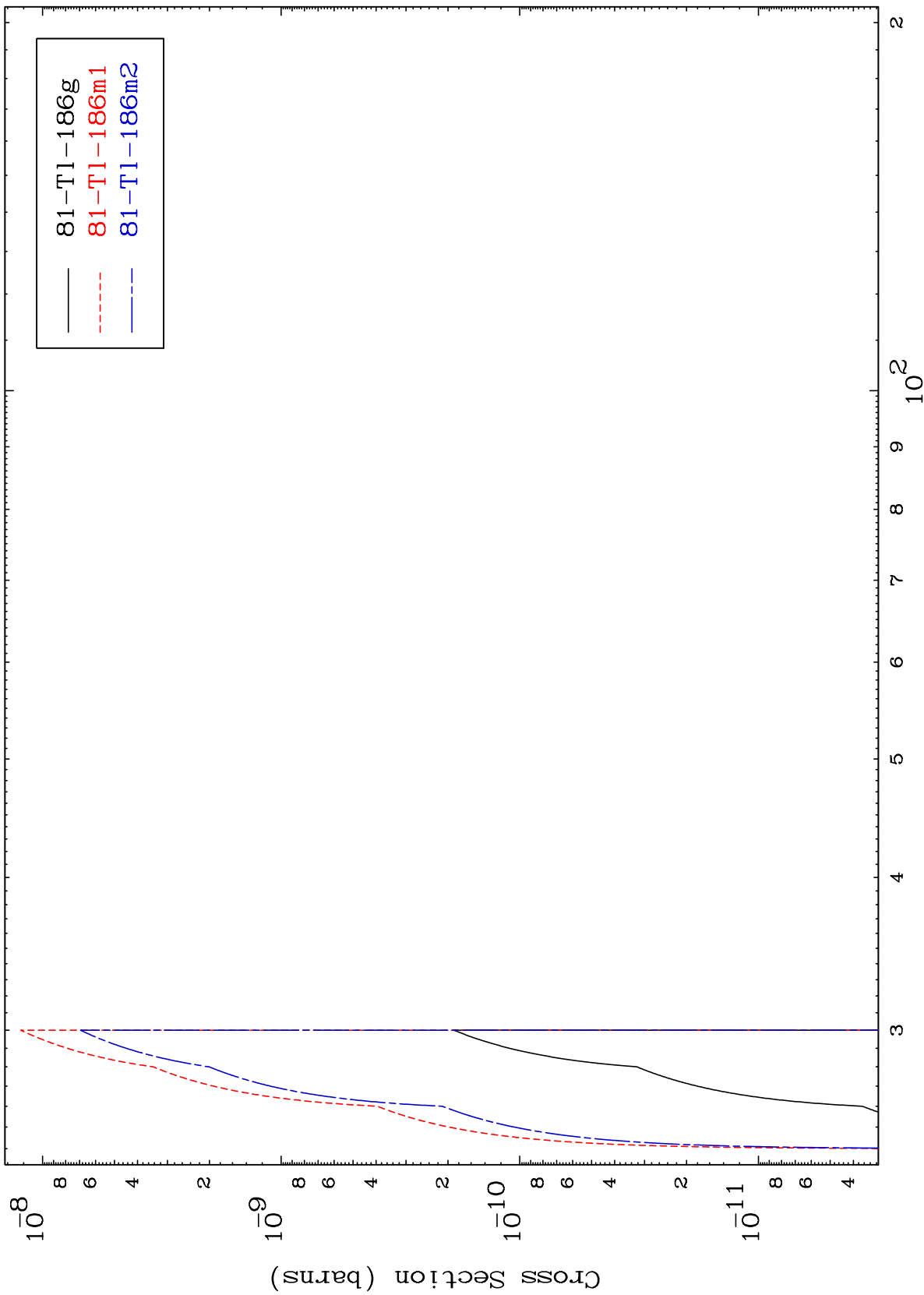
81-Tl-190

MAT 8086

$(n,3n) \alpha$

81-Tl-190

Radionuclide Production Cross Section



19

Incident Energy (MeV)

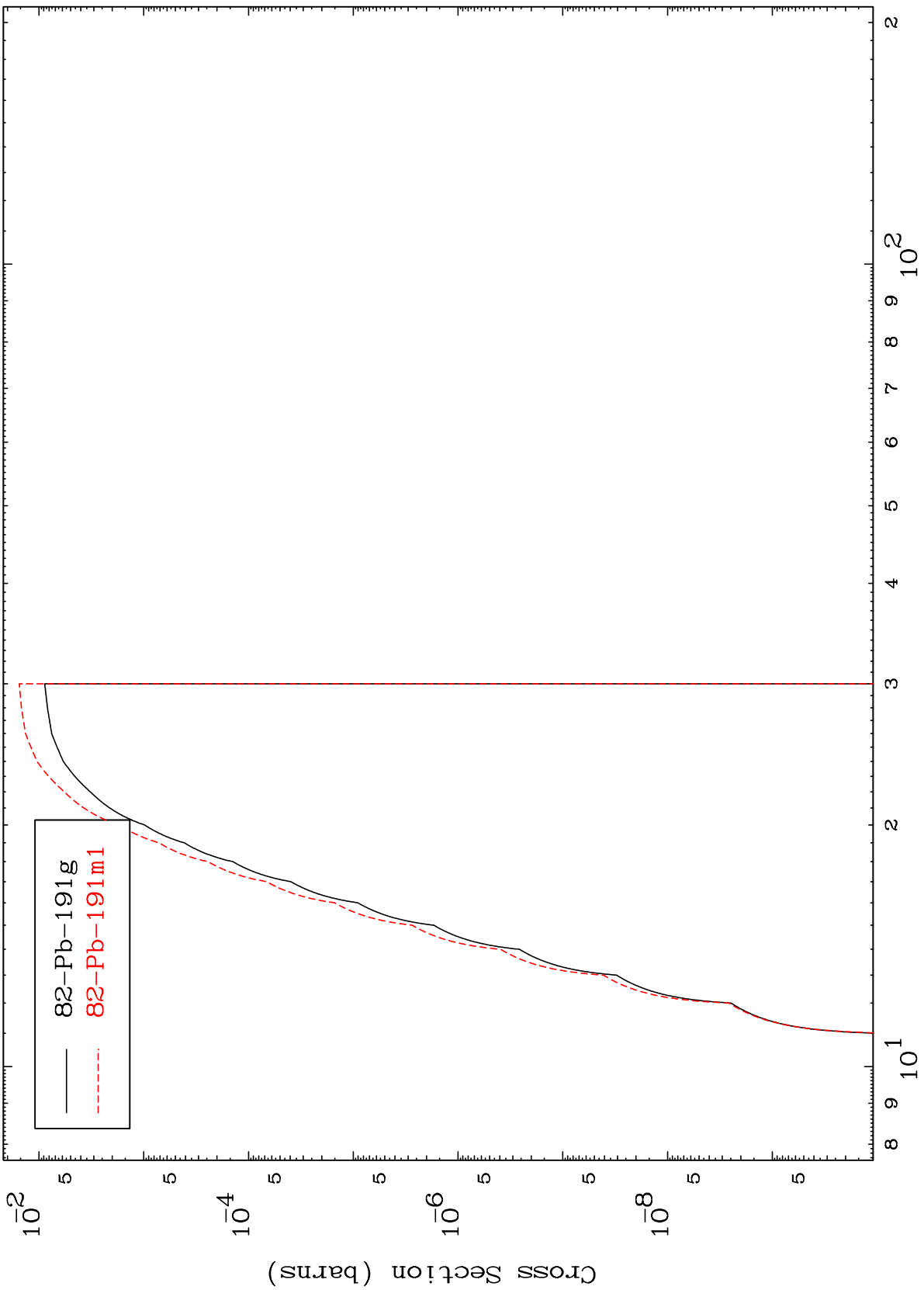
81-Tl-190

MAT 8086

(n,n') p

81-Tl-190

Radionuclide Production Cross Section



20

Incident Energy (MeV)

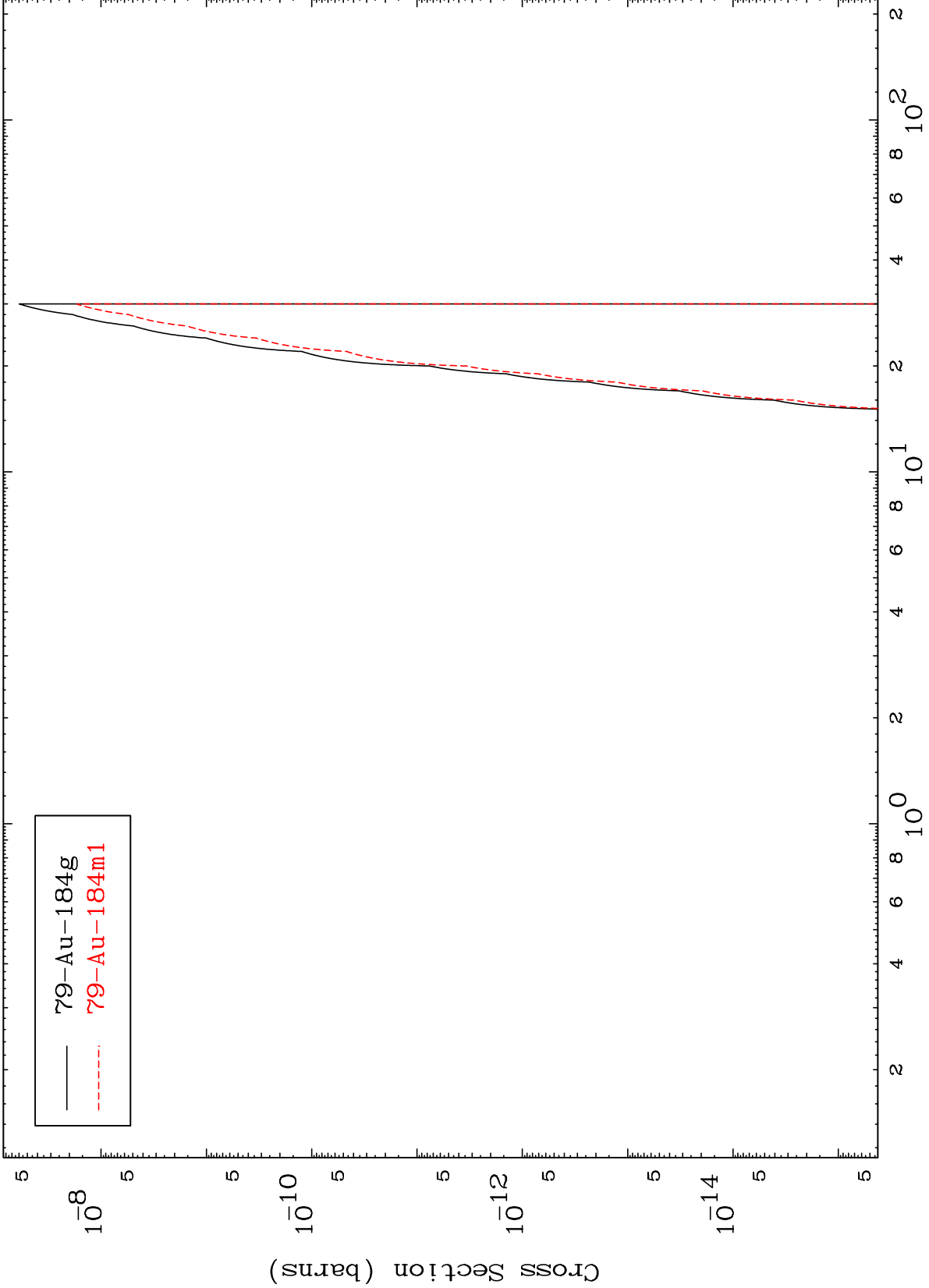
81-Tl-190

MAT 8086

(n,n') 2α

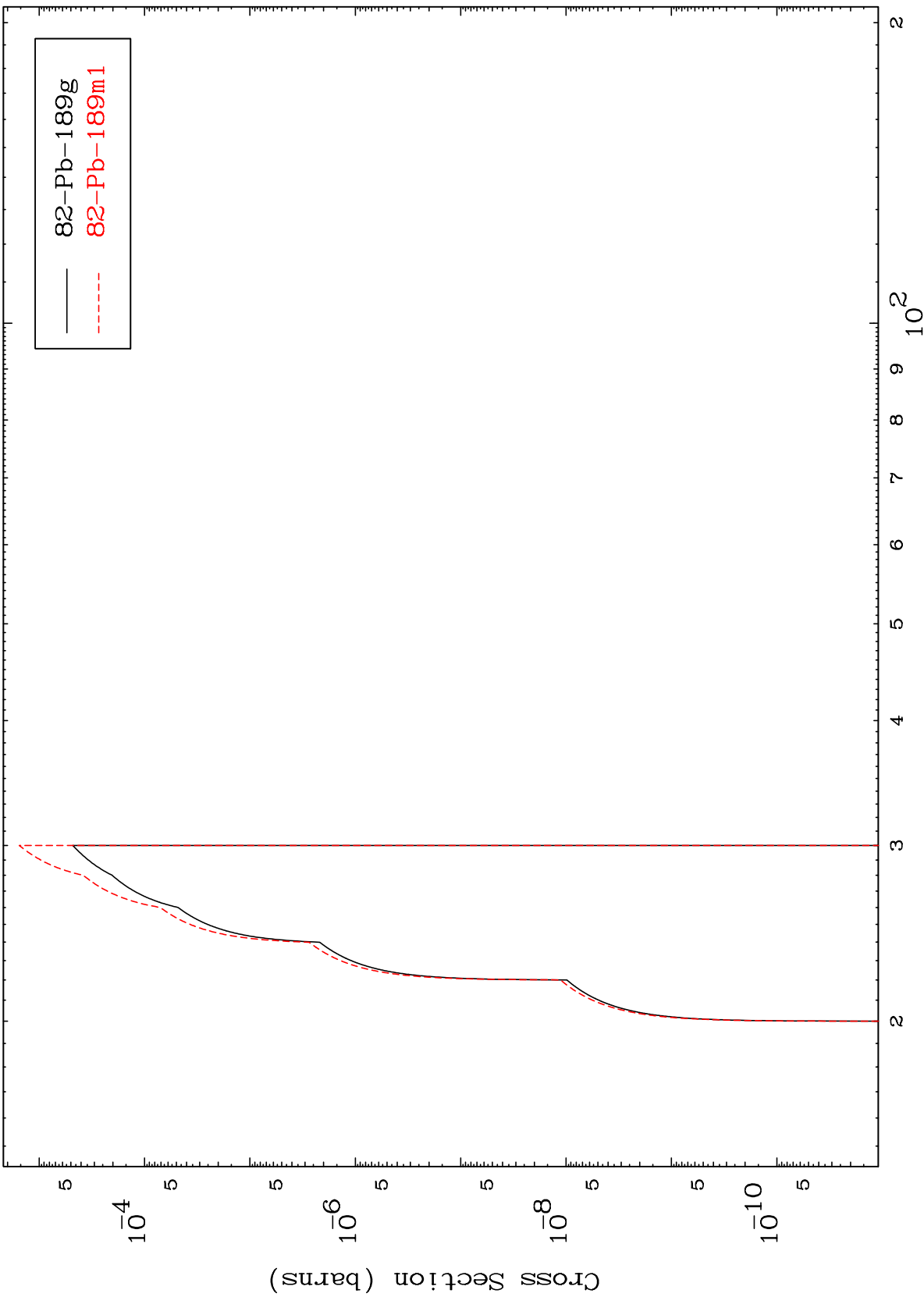
81-Tl-190

Radionuclide Production Cross Section



79-Au-184g
79-Au-184m1

Radionuclide Production Cross Section

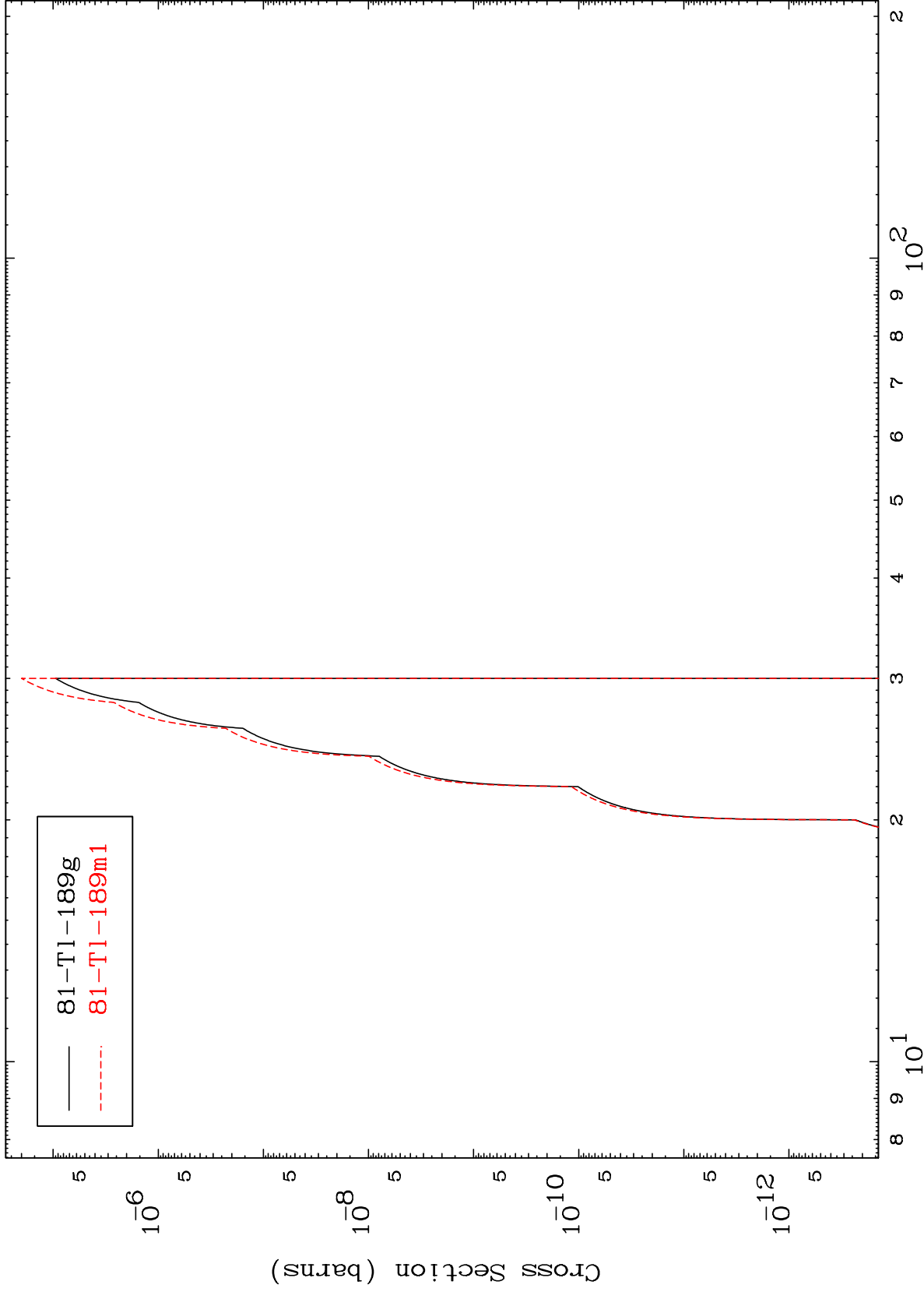


MAT 8086

(n,n') He-3

81-Tl-190

Radionuclide Production Cross Section

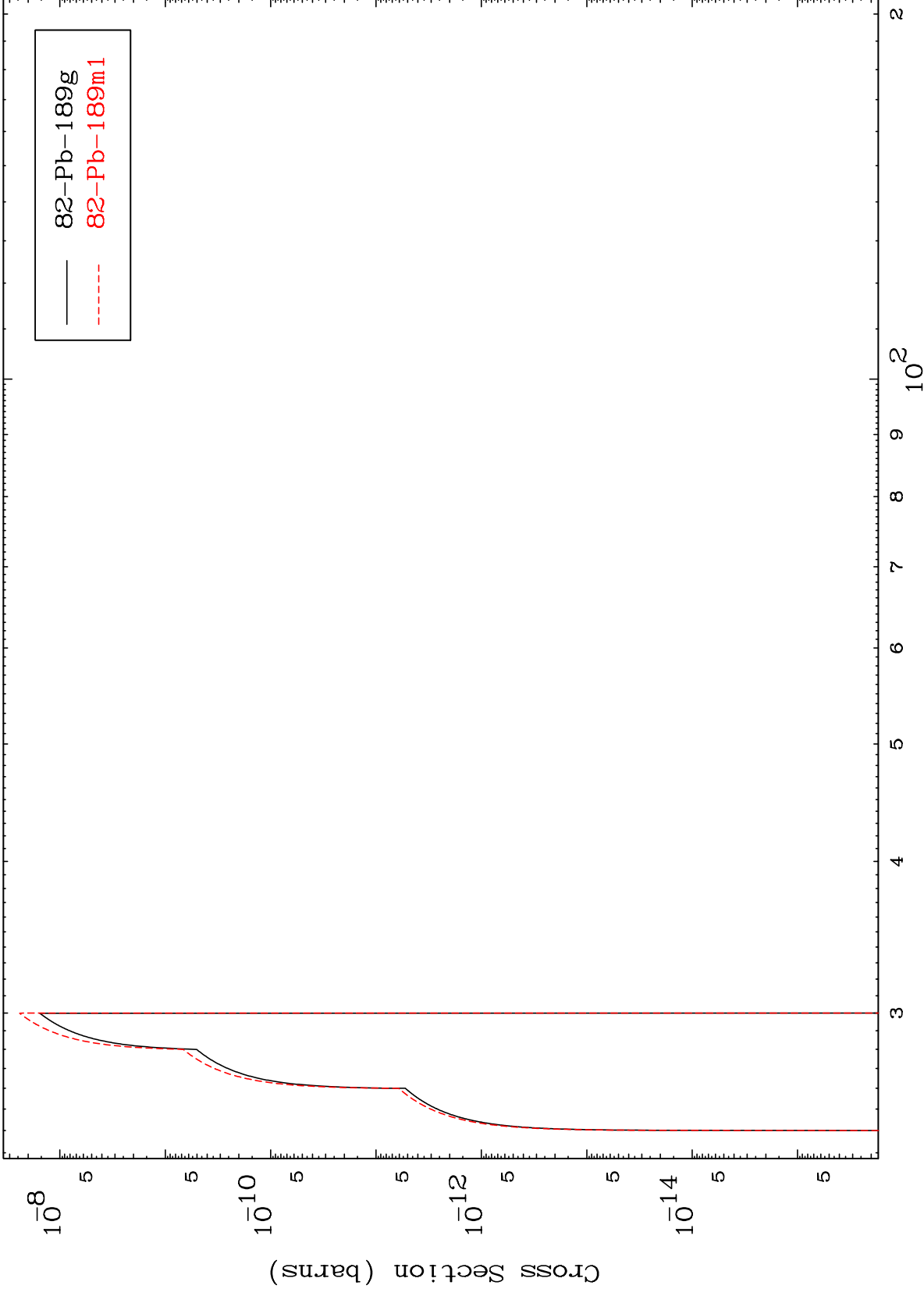


MAT 8086

(n,3n) p

81-Tl-190

Radionuclide Production Cross Section



24

Incident Energy (MeV)

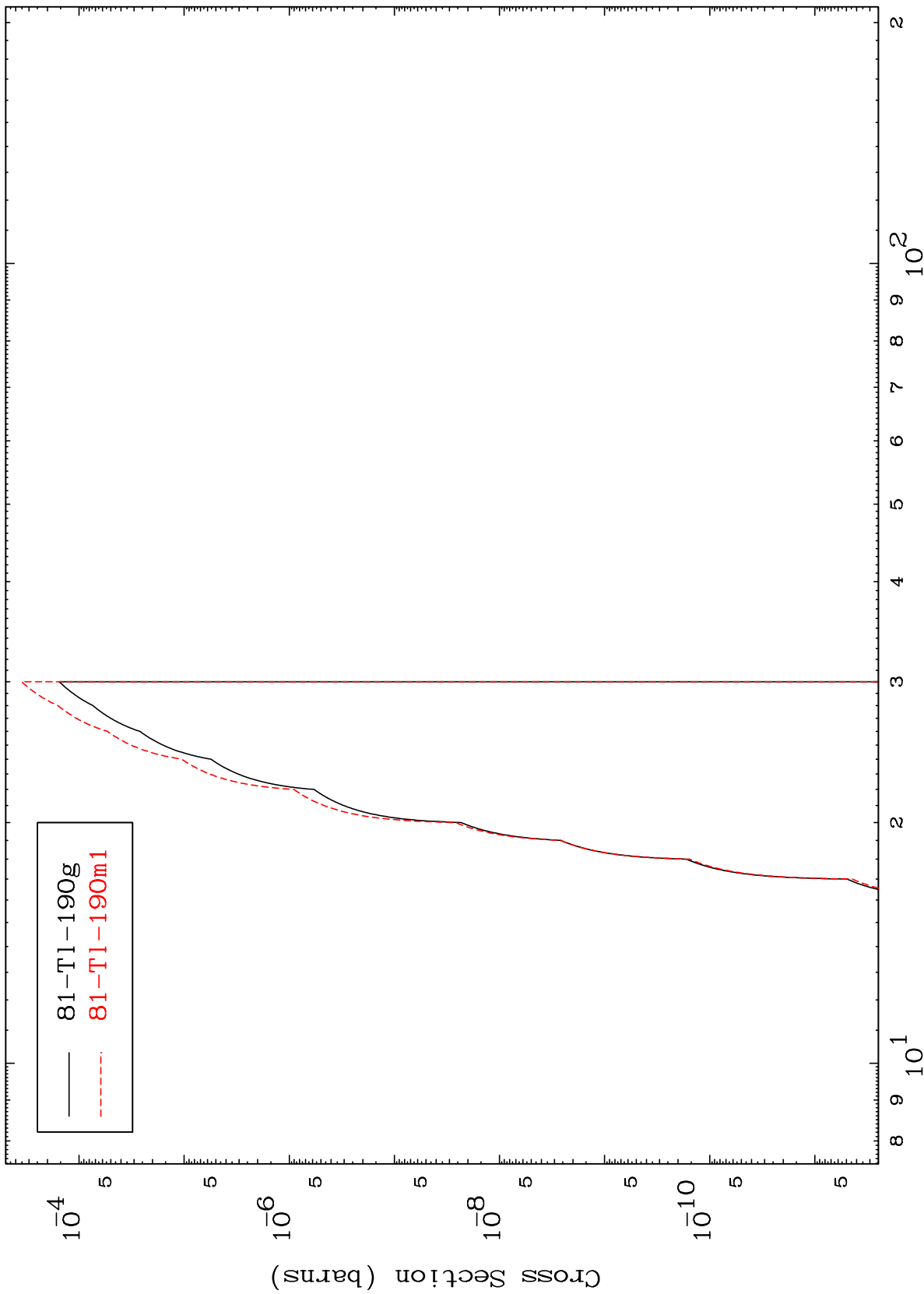
81-Tl-190

MAT 8086

(n,2n) p

81-Tl-190

Radionuclide Production Cross Section

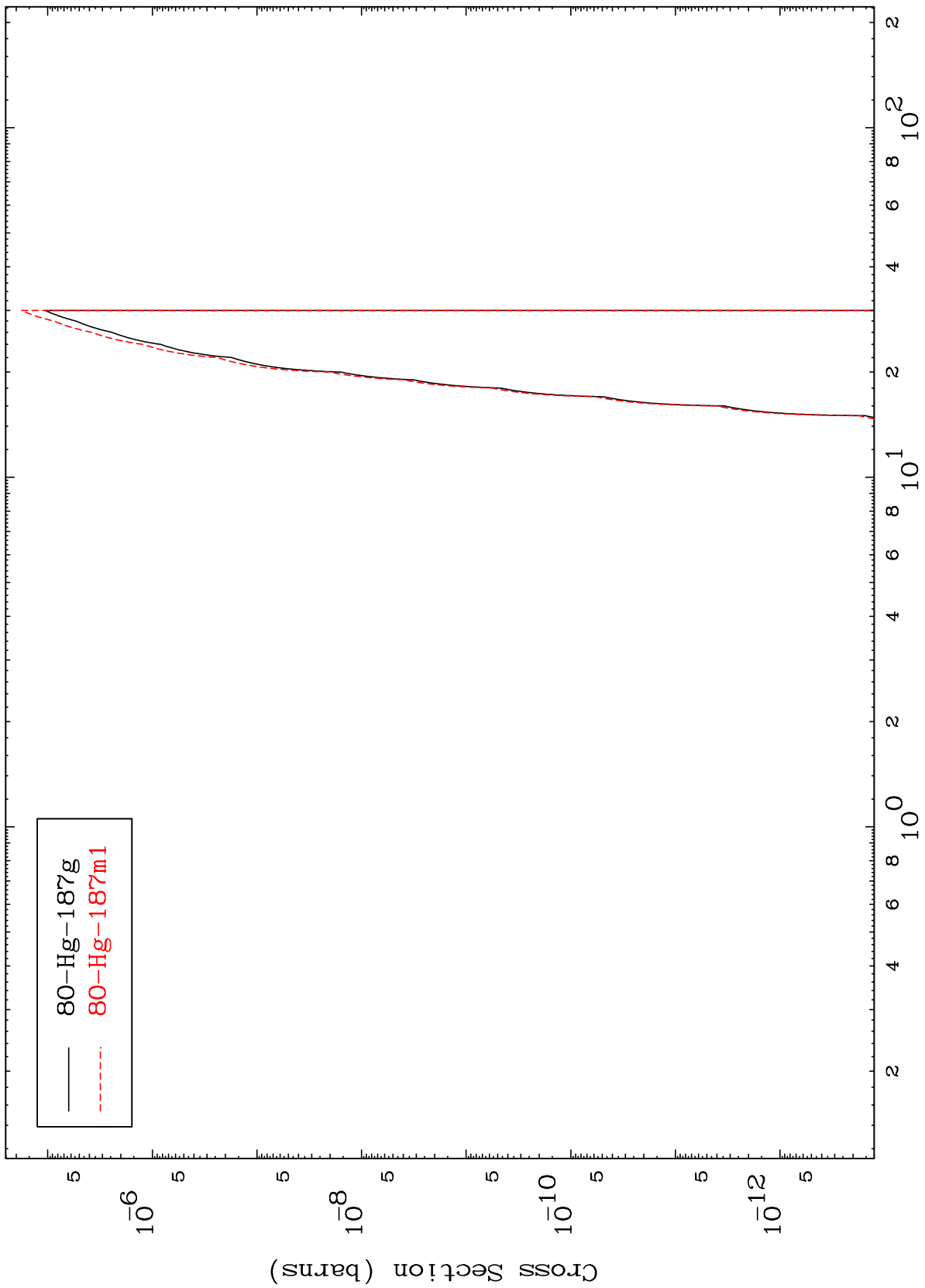


MAT 8086

(n,n') p α

81-Tl-190

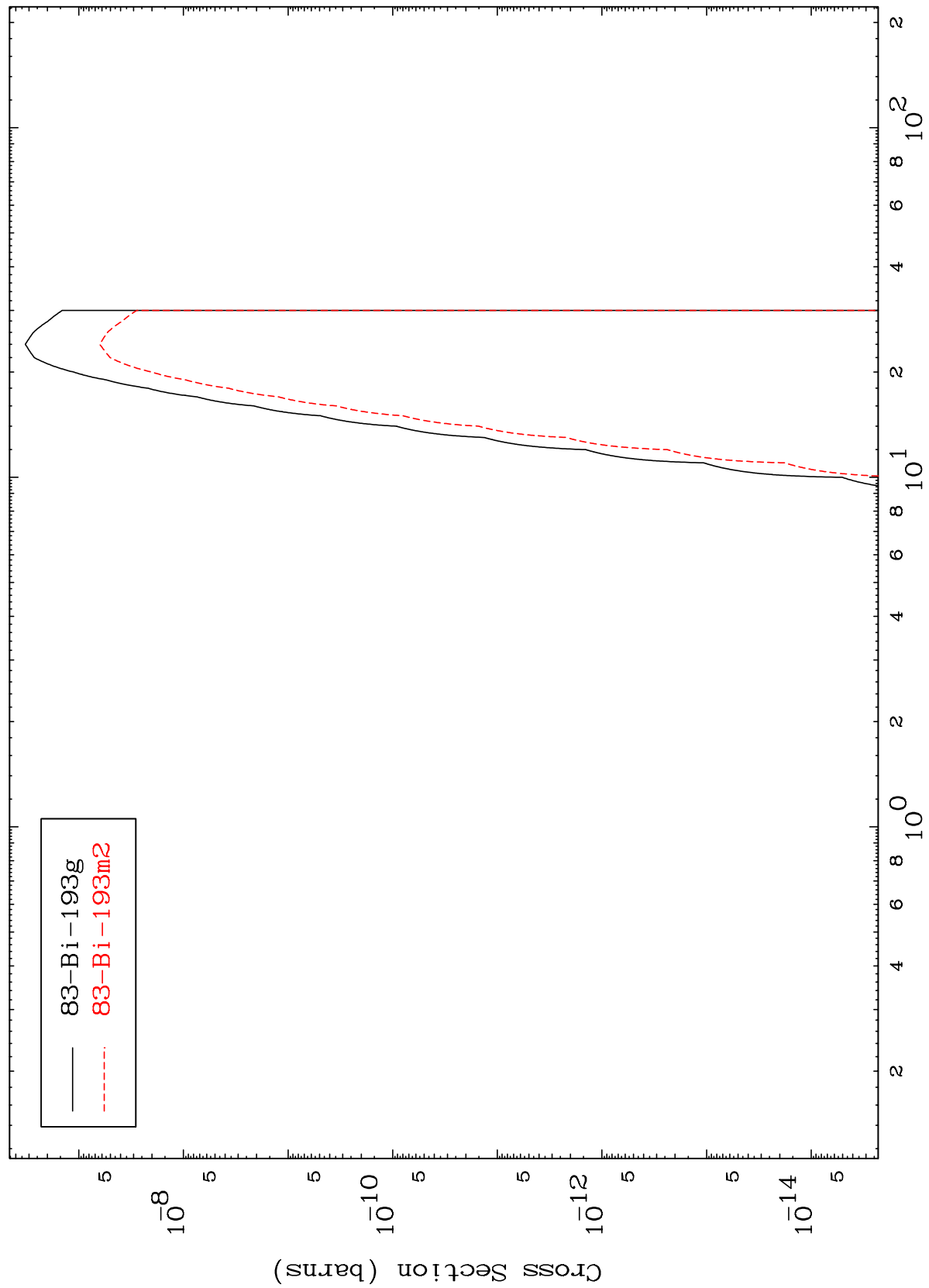
Radionuclide Production Cross Section



MAT 8086

81-Tl-190

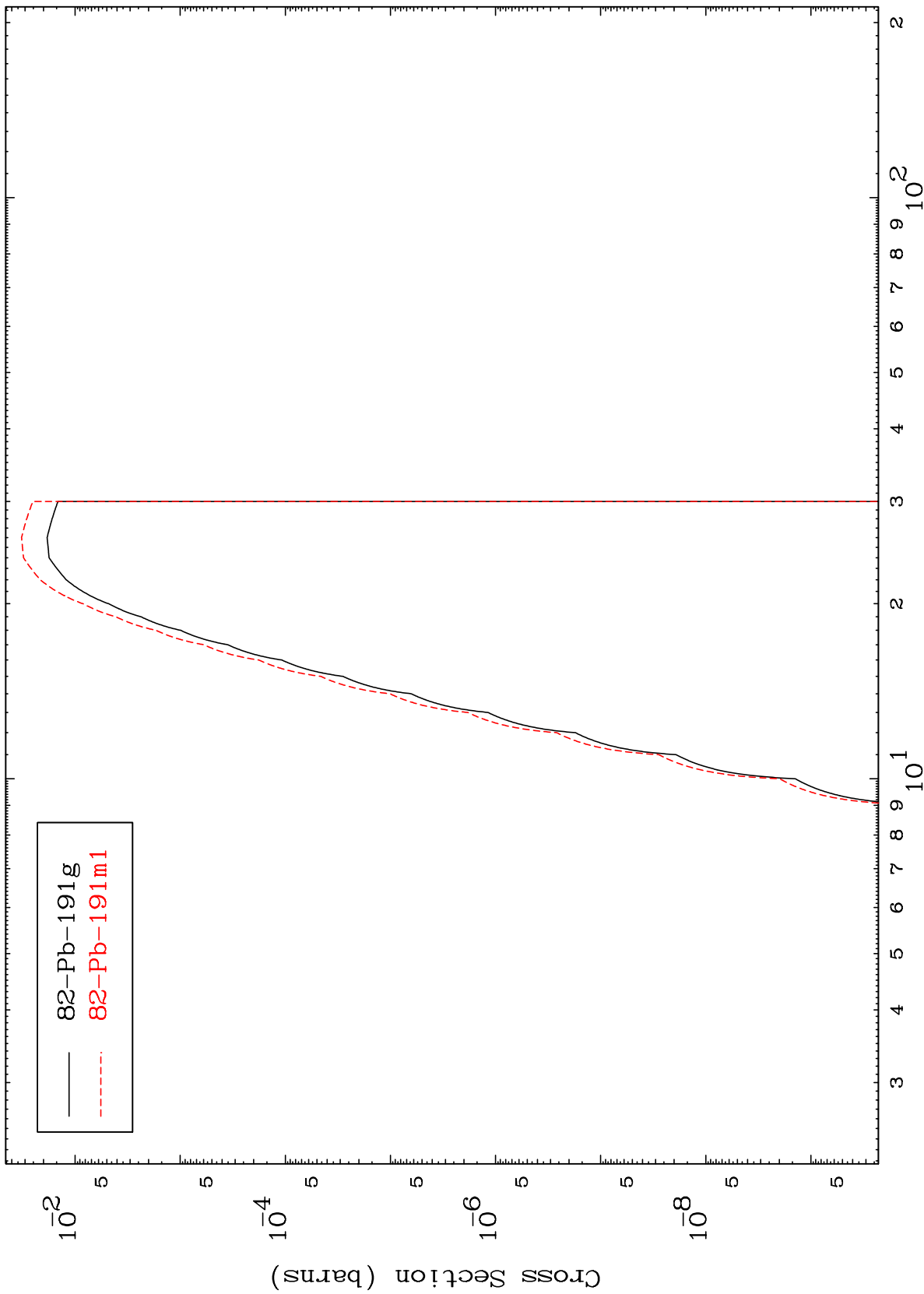
(n,γ)
Radionuclide Production Cross Section



MAT 8086

81-Tl-190

(n,d)
Radionuclide Production Cross Section



28

81-Tl-190

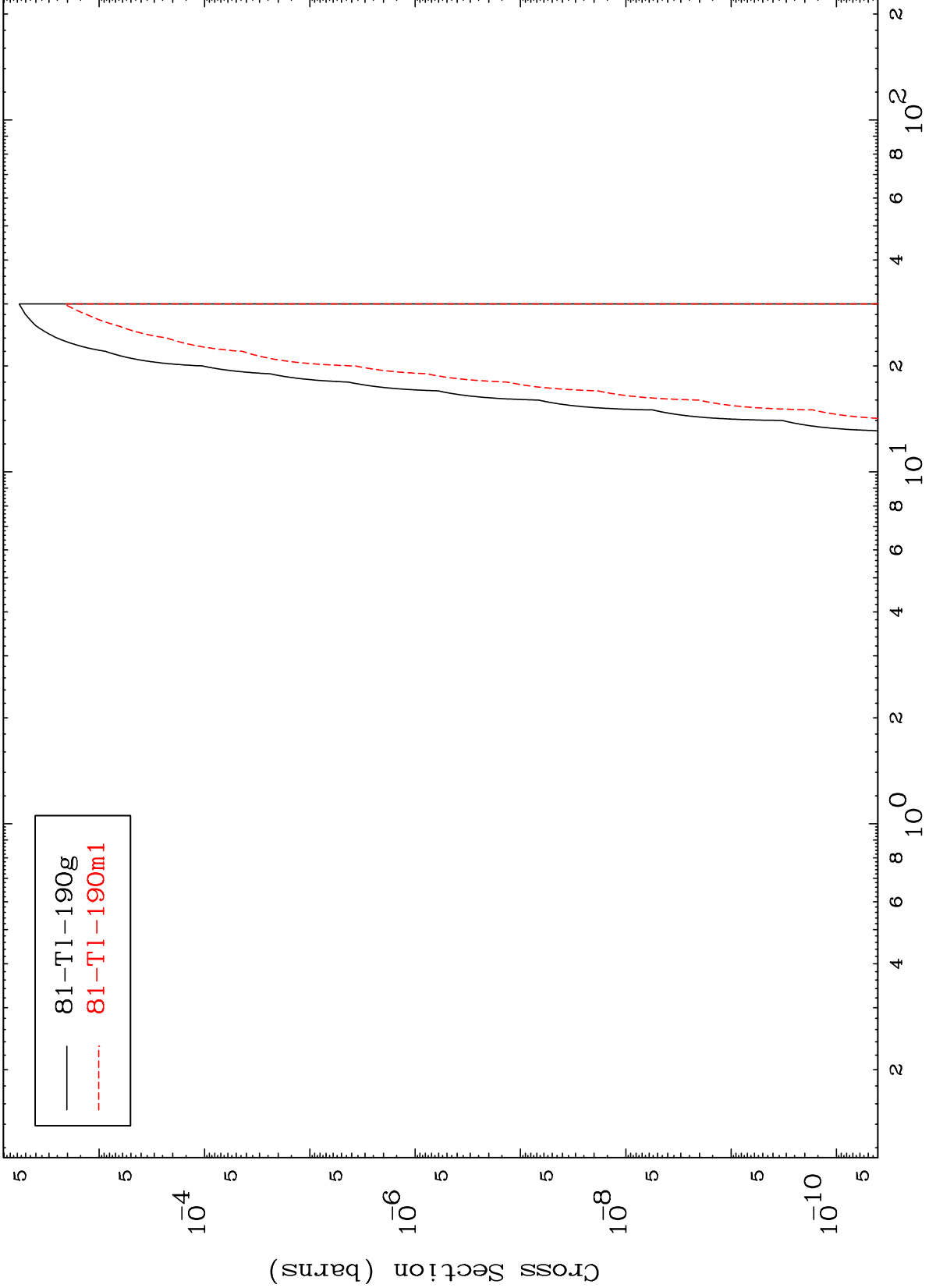
Incident Energy (MeV)

MAT 8086

(n,He-3)

81-Tl-190

Radionuclide Production Cross Section

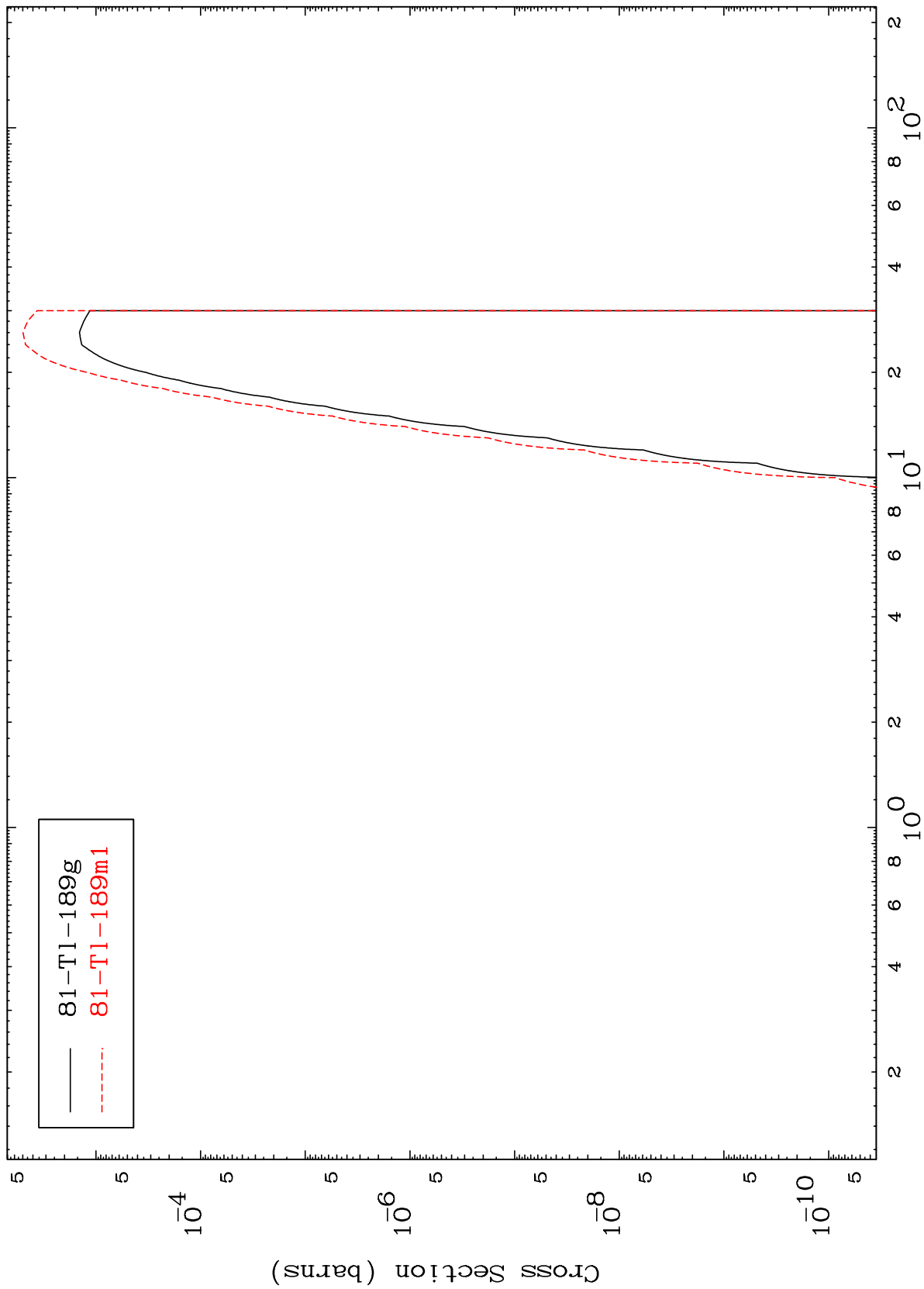


81-Tl-190g
81-Tl-190m1

MAT 8086

81-Tl-190

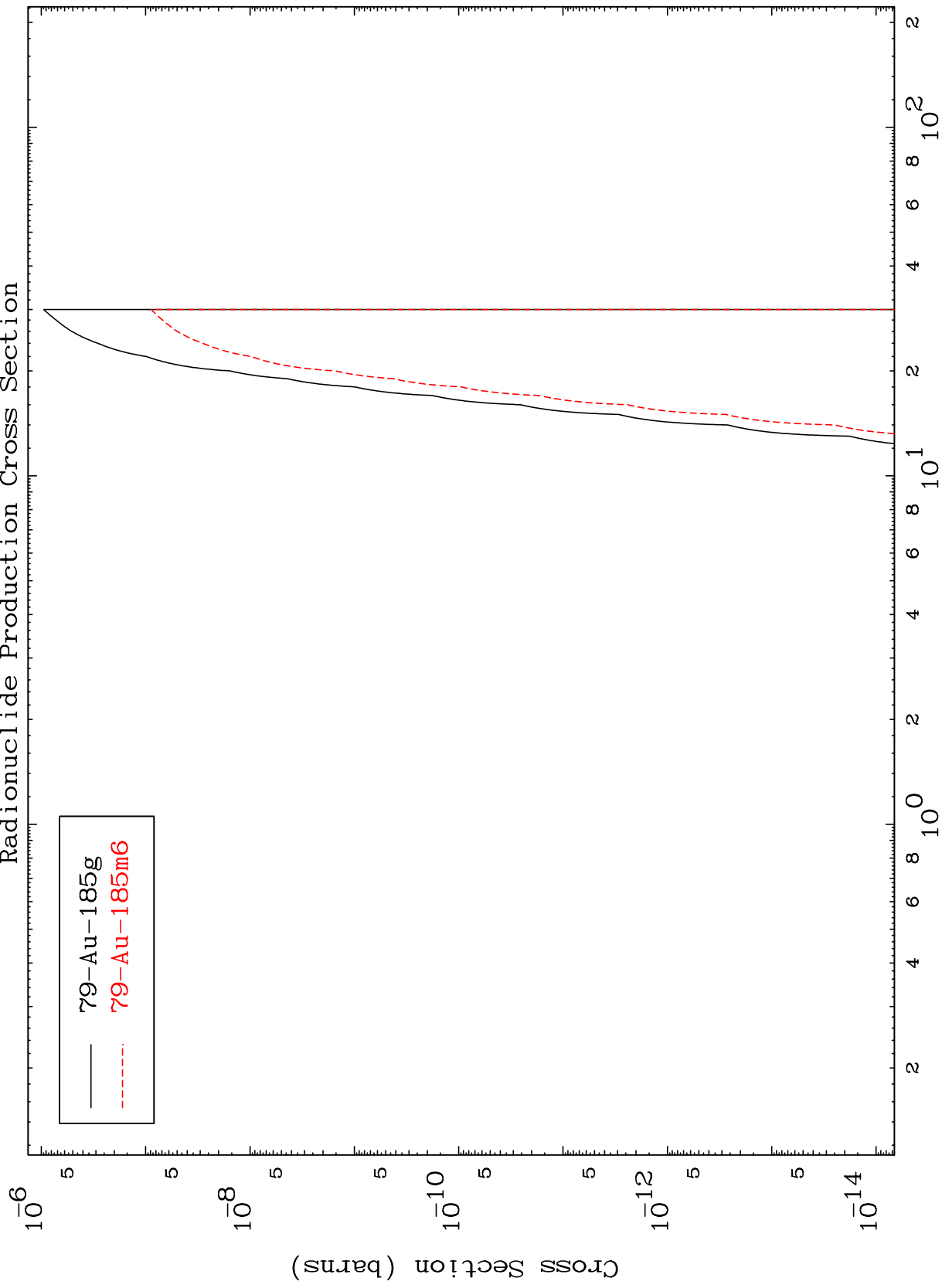
Radionuclide Production Cross Section



MAT 8086

81-Tl-190

Radionuclide Production Cross Section
(n,2α)



31

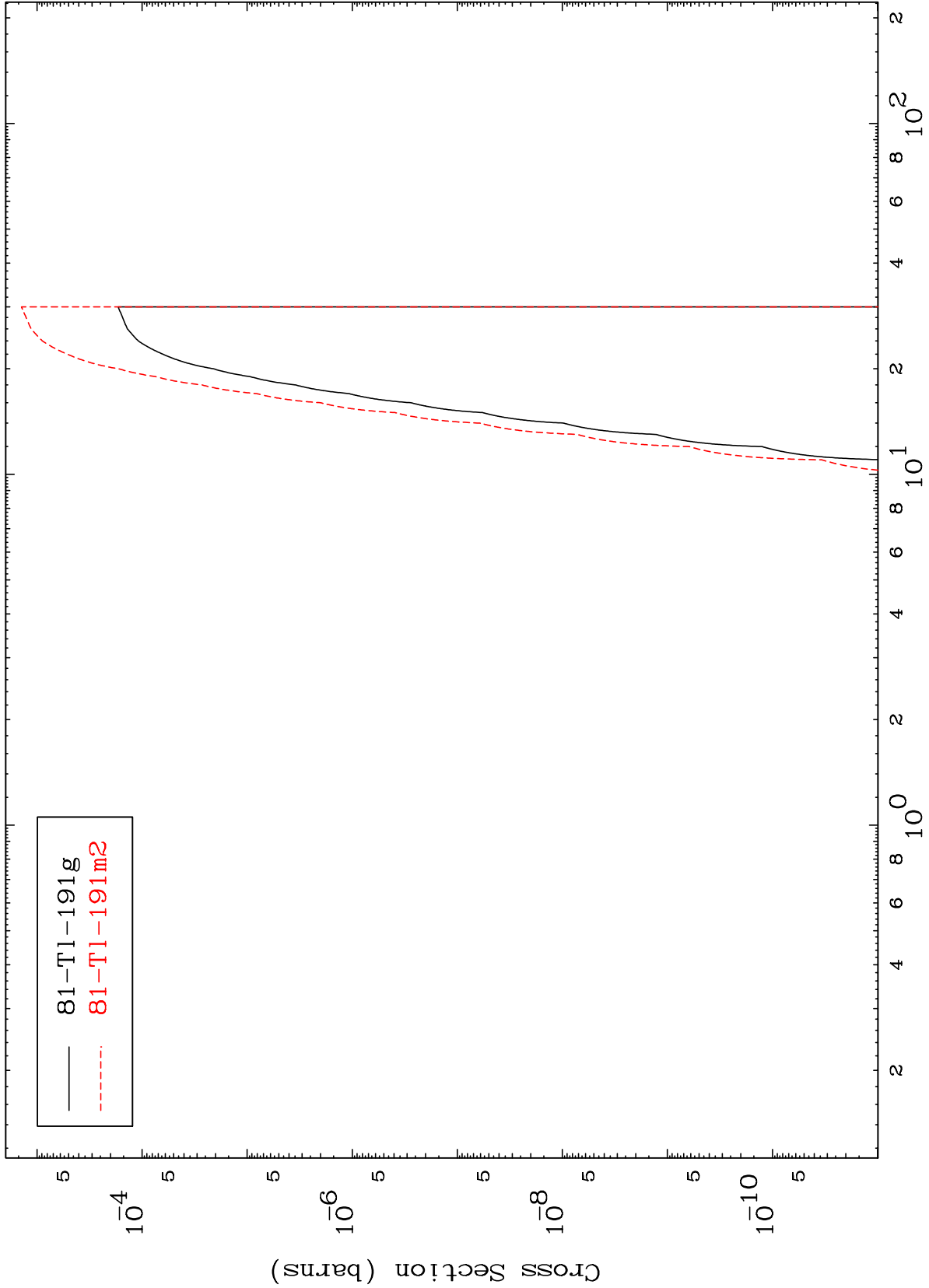
81-Tl-190

MAT 8086

(n,2p)

81-Tl-190

Radionuclide Production Cross Section

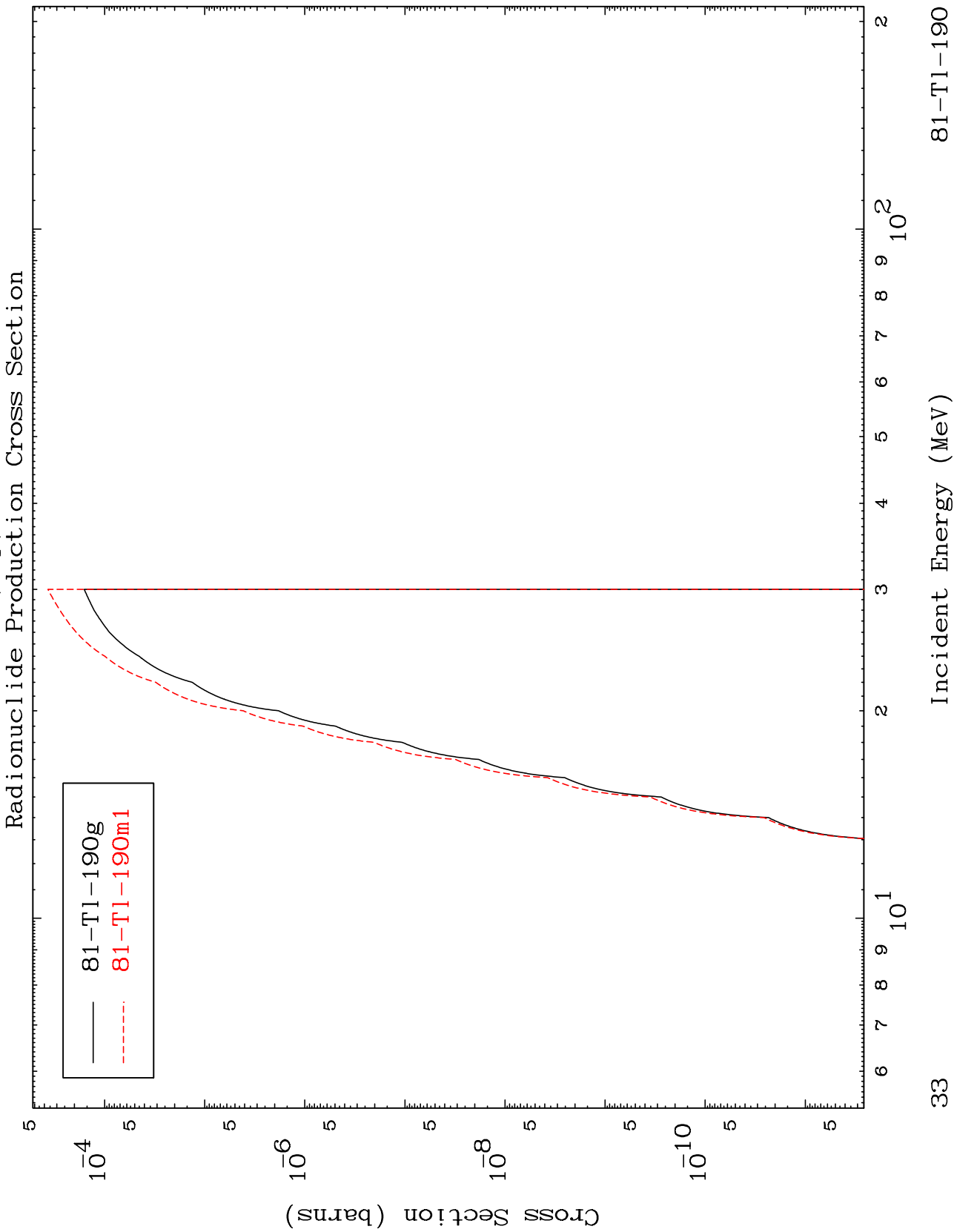


81-Tl-191g
81-Tl-191m2

MAT 8086

(n,p) d

81-Tl-190



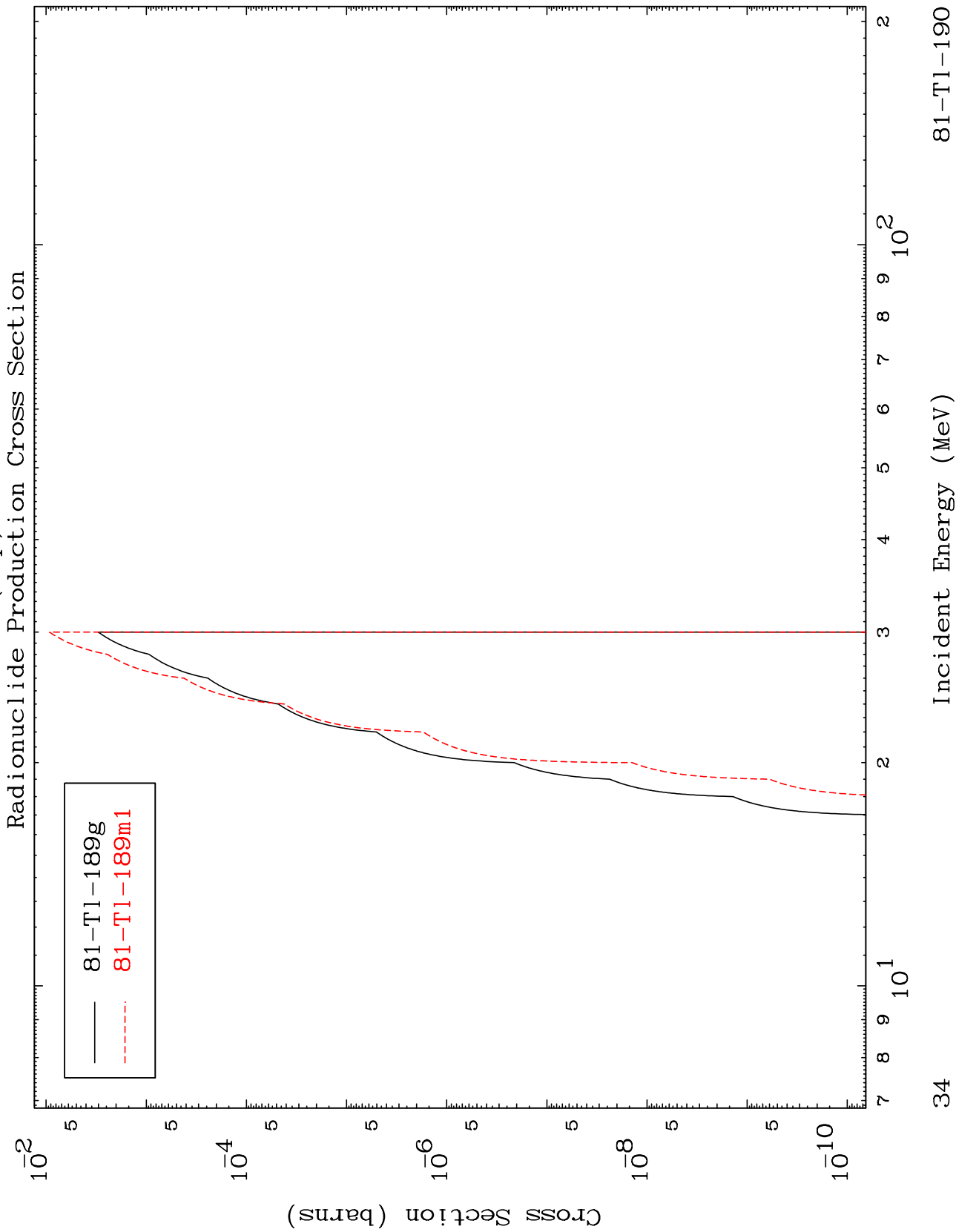
33

81-Tl-190

MAT 8086

(n,p) t

81-Tl-190



34

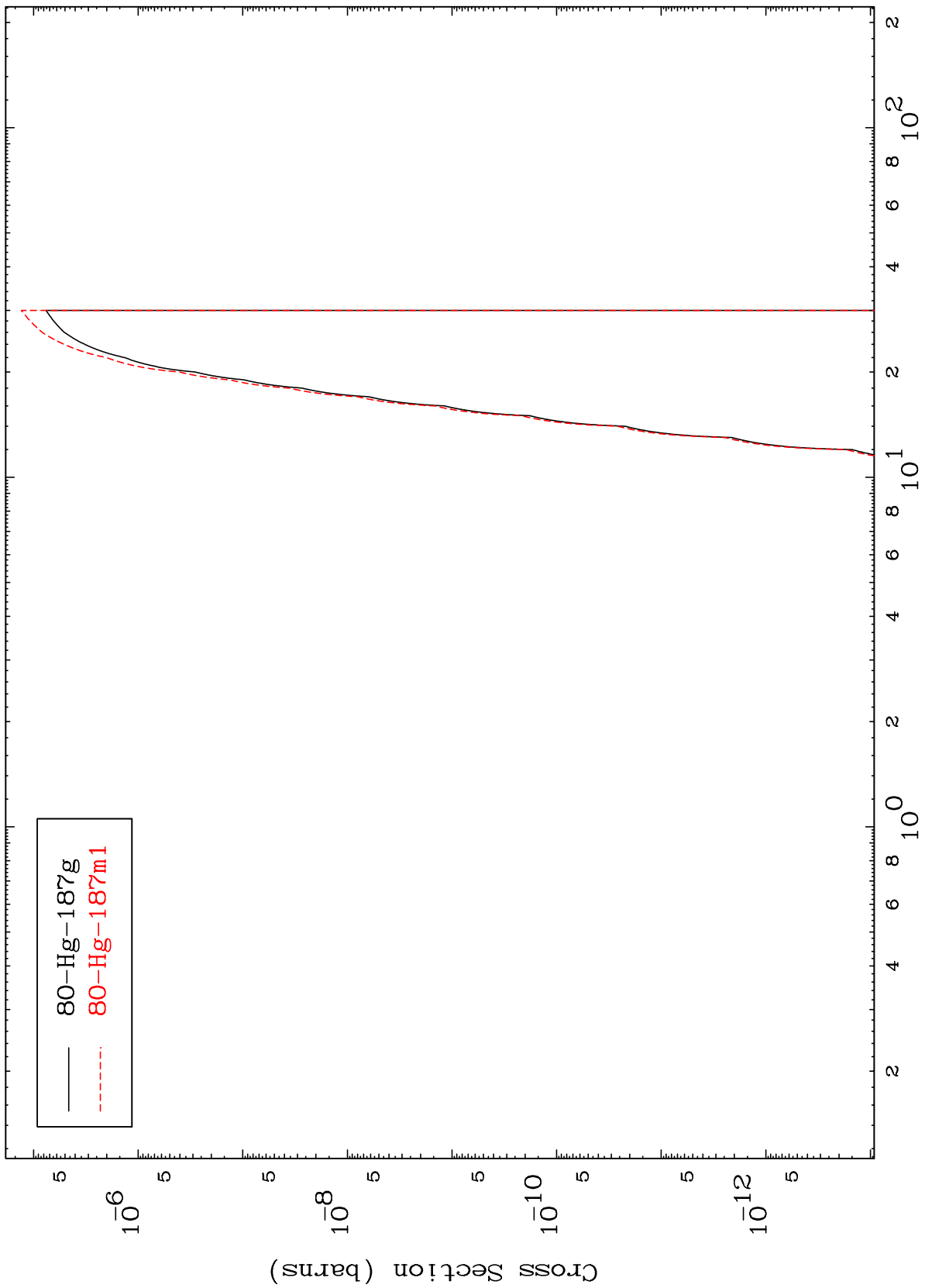
81-Tl-190

MAT 8086

(n,d) α

81-Tl-190

Radionuclide Production Cross Section



35

Incident Energy (MeV)

81-Tl-190